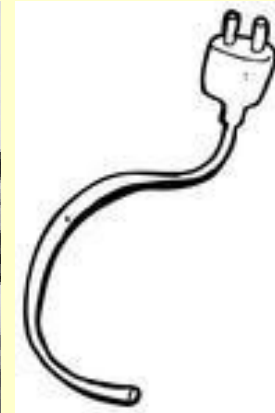
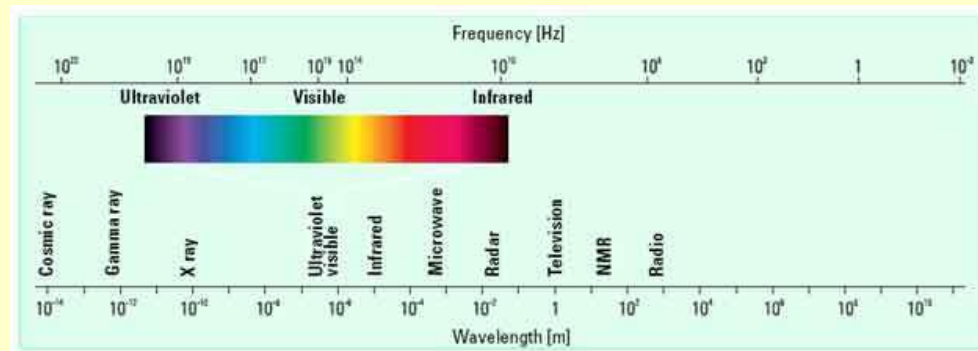
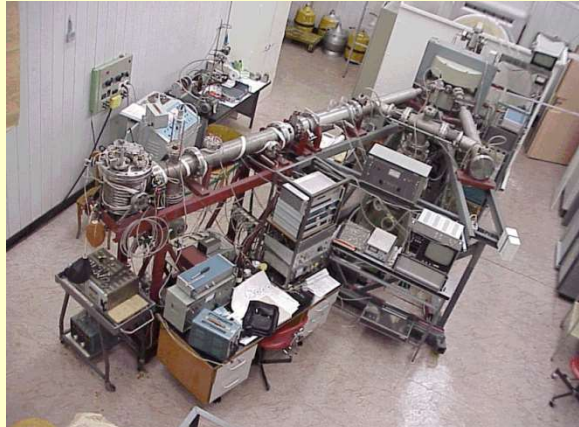


# Repetitorium chemie IV.

Stručné základy klasické kvantitativní analýzy anorganických  
látek a úvod do moderních instrumentálních metod

(2019)



Jaroslav Heyrovský (dole uprostřed vpravo) a Rudolf Brdička u polarografu  
(Nobelova cena pro J.Heyrovského – 1959)

# Analytická chemie kvantitativní

## Metody historické kvantitativní analýzy:

Vážková analýza

Odměrná analýza

## Současná instrumentální analýza:

Základní elektrochemické techniky

Spektrofotometrie v UV a VIS

Atomová absorpční a emisní spektrometrie, PIXE, EDAX

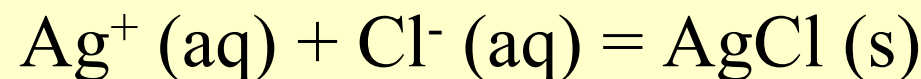
Chromatografie

# Metody klasické kvantitativní analýzy

## Vážková analýza (gravimetrie):

Je založena na vzniku a vážení omezeně rozpustné sraženiny (tj. látky s  $K_s \leq 10^{-7}$ )

Např.



(tvorba sraženiny chloridu stříbrného)

# Metody klasické kvantitativní analýzy

## Pravidla praktické gravimetrie:

- Sráží se ze zředěných roztoků
- Sráží se z horkých roztoků
- Sráží se z roztoků s pH na hranici kvantitativního srážení
- Sráží se pomalým přídavkem srážedla za intensivního míchání
- Sraženina se před vážením řádně vysuší, popř. žíhá

# Metody klasické kvantitativní analýzy

## Praktický příklad:

Mince o hmotnosti 0,528 g byla rozpuštěna v kyselině.  
Přídavkem NaCl bylo vysráženo 0,288 g bílé  
sraženiny AgCl. Kolik % stříbra mince obsahovala?

1 mol AgCl obsahuje 1 mol Ag, tj.

144 g AgCl obsahuje 108 g Ag (viz molekulové hmotnosti)

288 mg AgCl obsahuje 216 mg Ag

Mince obsahovala  $(216/528) \cdot 100 = 40.9\%$  stříbra

# Metody klasické kvantitativní analýzy

## Gravimetrický faktor:

Jest poměrné zastoupení hledaného elementu ve vážené sloučenině.

Např.  $f = \text{Ag}/\text{AgCl} = 108/144 = 0.75$

(vynásobíme-li faktorem nalezené váhové množství sraženiny, dostaneme množství hledaného kovu)

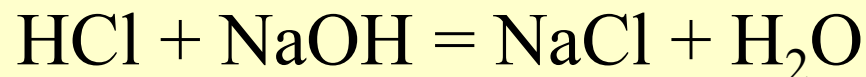
(v minulém příkladě  $0.288 \text{ g AgCl} * f = 0.216 \text{ g Ag}$ )

# Metody klasické kvantitativní analýzy

## Odměrná analýza (volumetrie):

Je založena na měření objemu spotřebované látky, vstupující do reakce. Stanovovaná látka se „titruje“ roztokem činidla.

Např.



# Metody klasické kvantitativní analýzy

## Pravidla praktické volumetrie:

- Reakce musí probíhat stechiometricky, bez vedlejších reakcí
- Reakce musí probíhat kvantitativně, tj. alespoň z 99,9%
- Reakce musí mít dobře viditelný (resp. měřitelný) bod ekvivalence

# Metody klasické kvantitativní analýzy

Rozdělení odměrné analýzy:

Odměrná neutralizační analýza (acidimetrie, alkalimetrie)

Odměrná srážecí analýza (např. argentometrie, merkurimetrie)

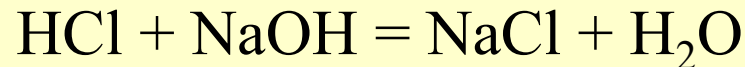
Odměrná redoxní analýza (např. manganometrie, jodometrie)

Komplexometrická odměrná analýza

# Metody klasické kvantitativní analýzy

## Odměrná neutralizační analýza:

Je založena na neutralizačních reakcích, např.



Roztok, kterým titrujeme (tj. ten, jehož přesnou spotřebu měříme  
– u acidimetrie roztok kyseliny, u alkalimetrie roztok louchu)  
musí mít přesnou koncentraci.

# Metody klasické kvantitativní analýzy

## Odměrná neutralizační analýza:

V odměrné analýze se někdy používá vyjádření koncentrace v normalitě (N).

Obsahuje-li látka x odštěpitelných (přijímaných) protonů, je její normalita rovna  $M/x$ .

$$1 \text{ M HCl} = 1 \text{ N HCl}$$

$$1 \text{ M H}_2\text{SO}_4 = 2 \text{ N H}_2\text{SO}_4$$

$$1 \text{ M H}_3\text{PO}_4 = 3 \text{ N H}_3\text{PO}_4$$

x ml 1N roztoku kyseliny odpovídá x ml 1N roztoku louchu

$$1 \text{ M NaOH} = 1 \text{ N NaOH}$$

$$1 \text{ M KOH} = 1 \text{ N KOH}$$

# Metody klasické kvantitativní analýzy

Titrační křivka a určení bodu ekvivalence:

K určení konce titrace (bodu ekvivalence) se užívá vhodných indikátorů (u acidobazických titrací neutralizačních indikátorů).

Silná kyselina + silná zásada: methylčerveň

Slabá kyselina + silná zásada: fenolftalein

Slabá zásada + silná kyselina: methyloranž

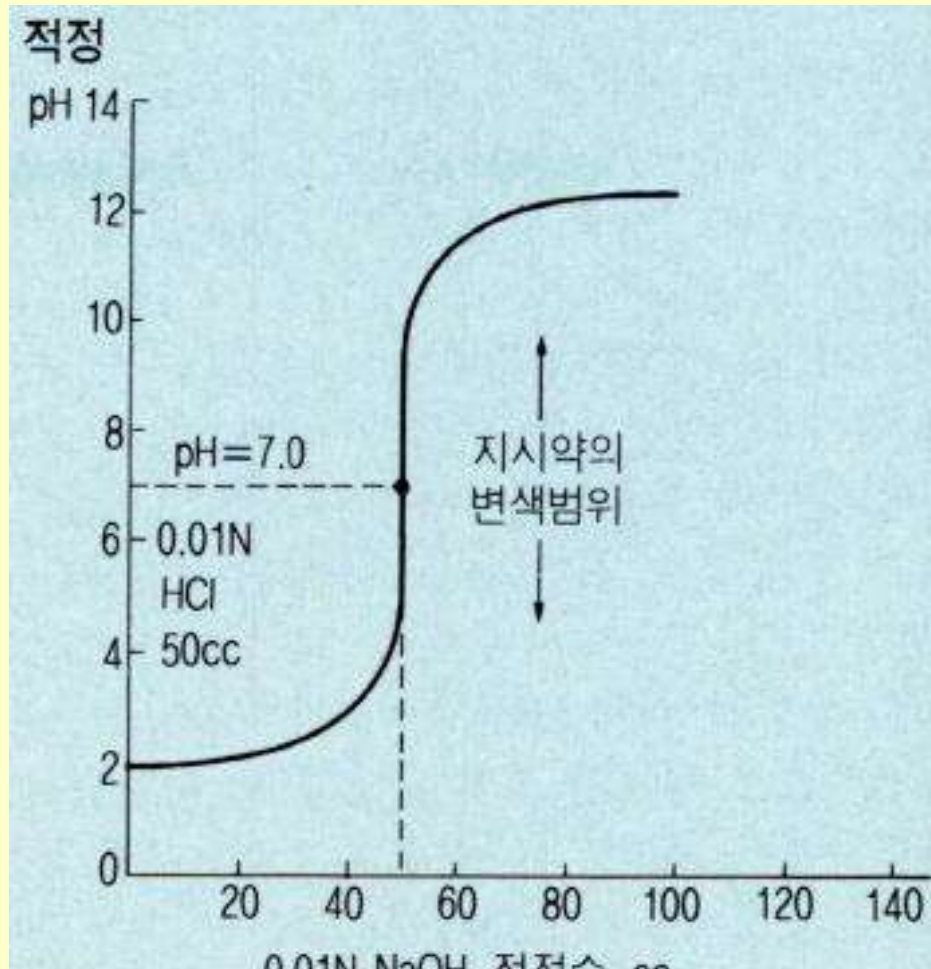
# Metody klasické kvantitativní analýzy

## Titrační křivka a určení bodu ekvivalence:

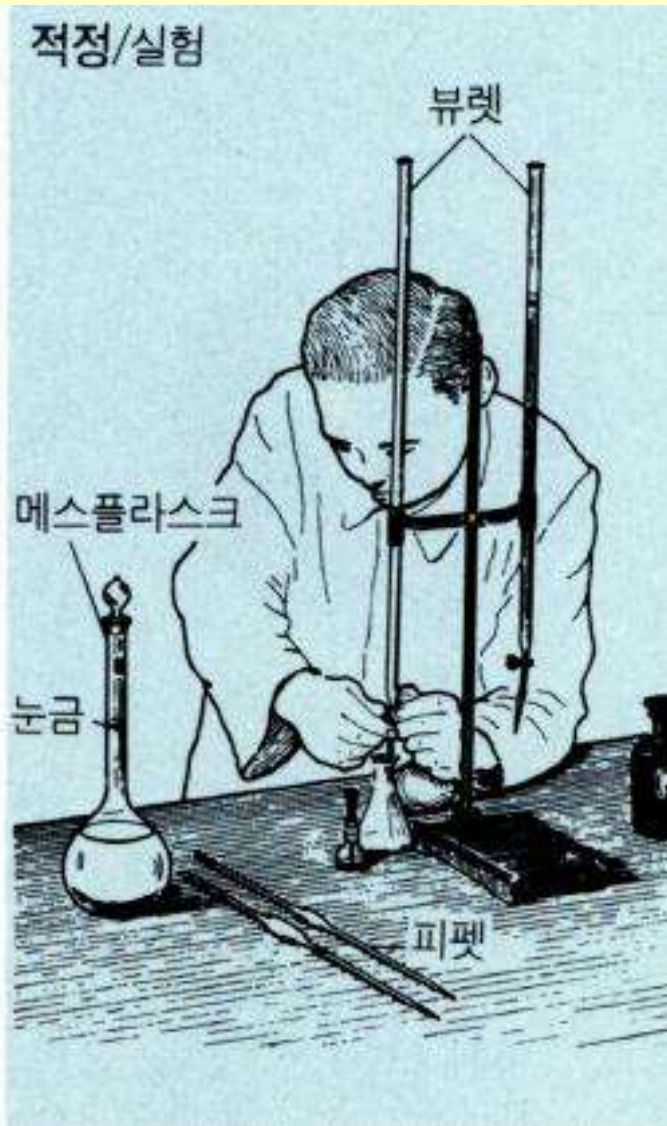
Při potenciometrickém sledování průběhu titrace se bod ekvivalence určuje analýzou titrační křivky.

Bod ekvivalence = inflexní bod titrační křivky.

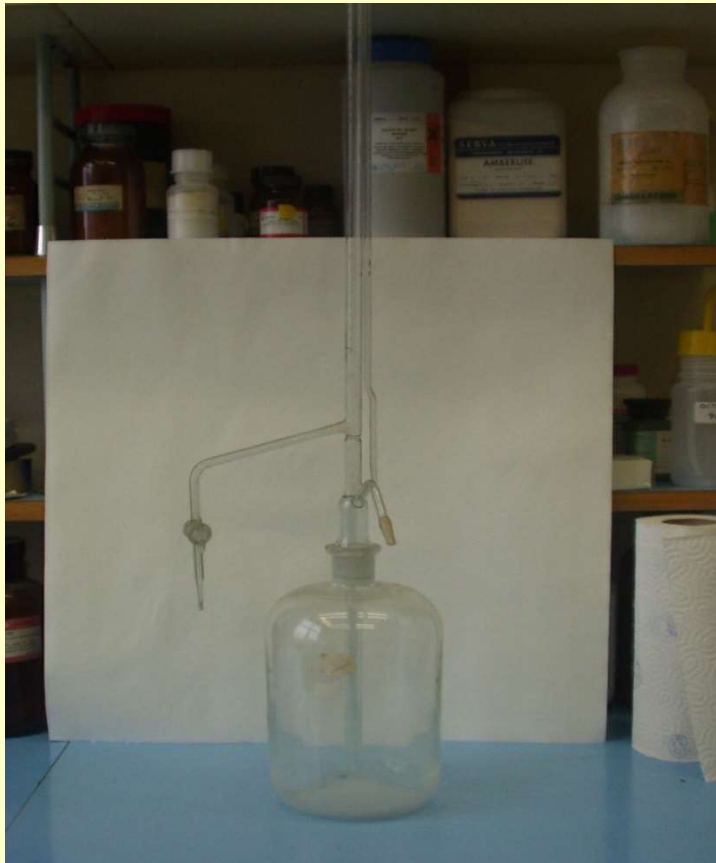
# Titrace: metody klasické kvantitativní analýzy



강한 산용액에 강한 염기용액을 가했을 때의 pH 변화를 나타내는 적정곡선

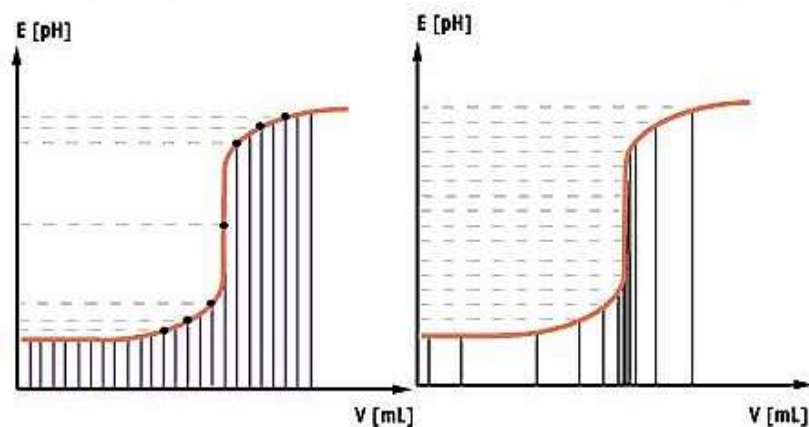
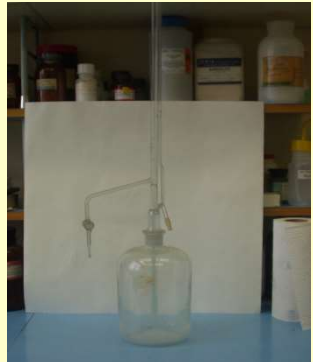


# Titrace: metody klasické kvantitativní analýzy



*Příklad mechanické  
(skleněné)  
byrety,  
sloužící při volumetrických  
stanoveních látek.*

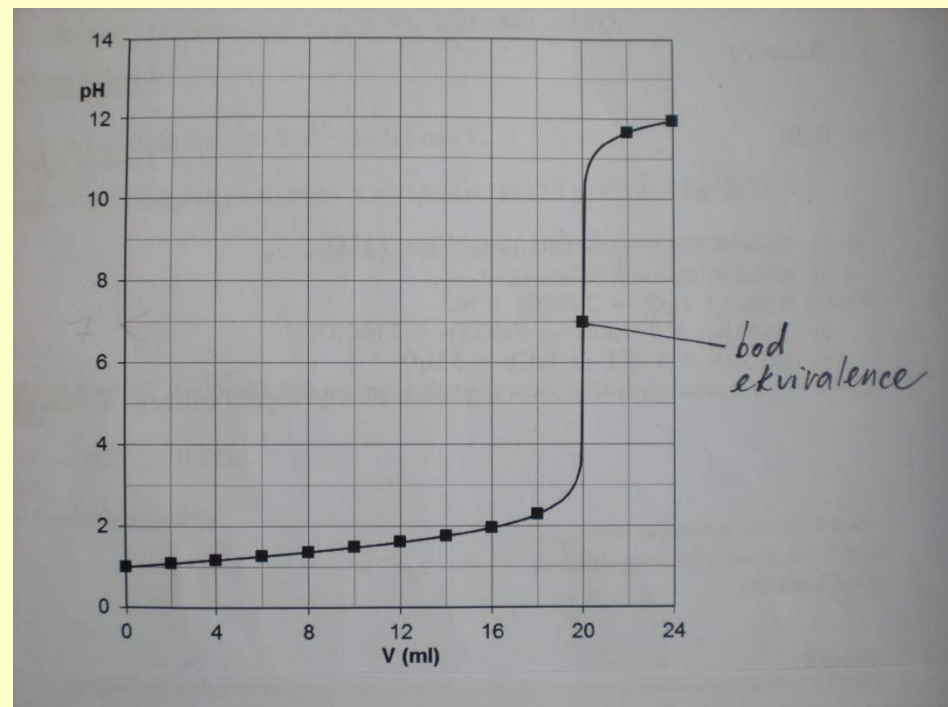
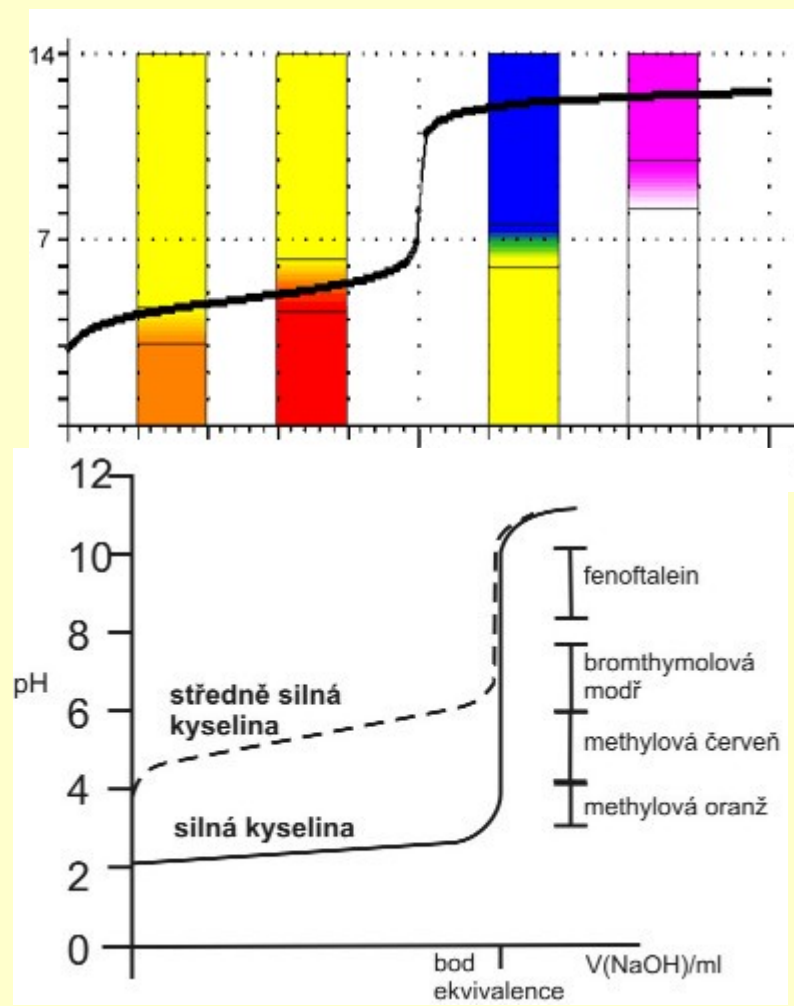
# Titrace: metody klasické kvantitativní analýzy

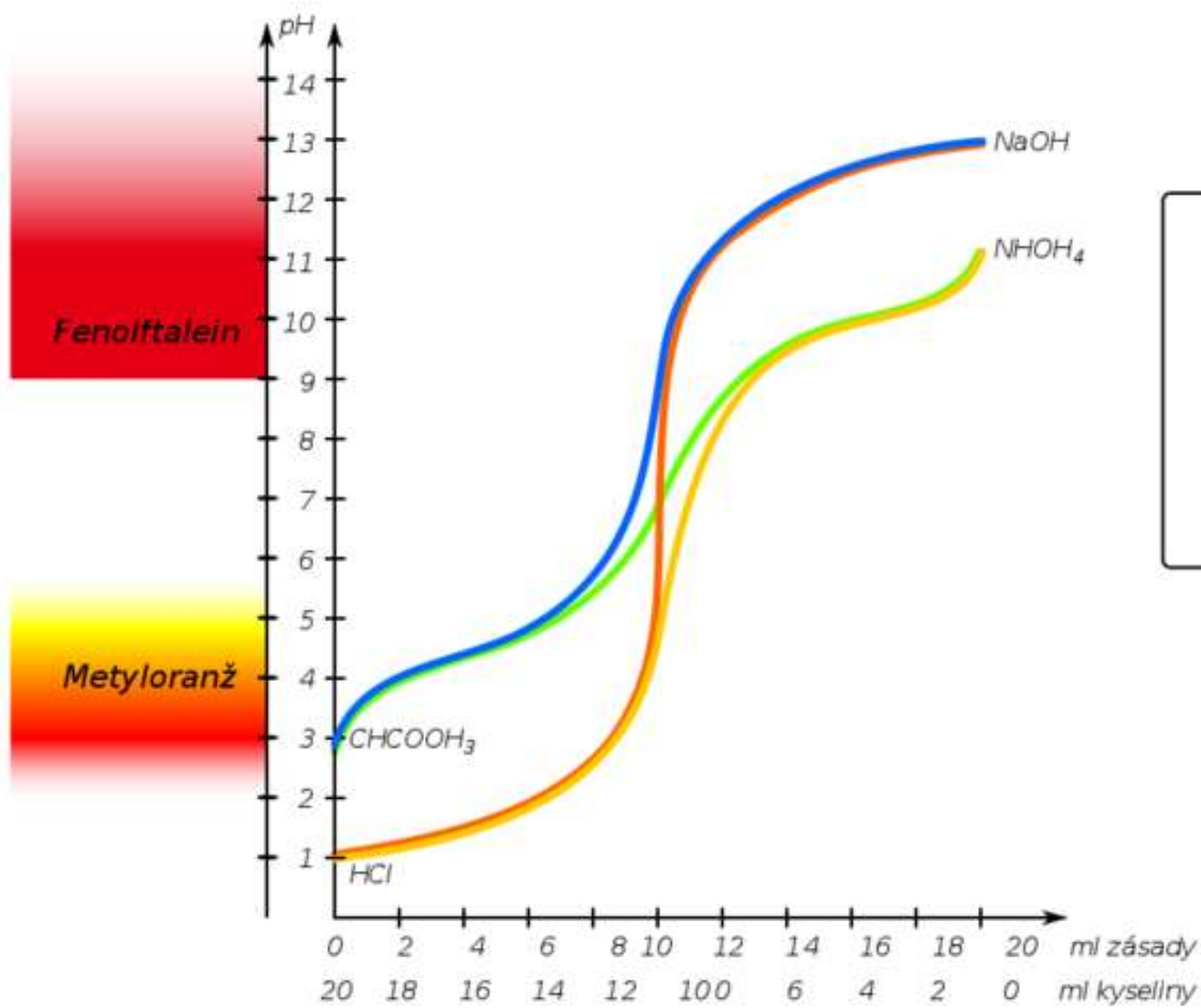


Incremental (left) and dynamic (right) titrant addition compared

Příklad mechanické (skleněné) a automatické byrety, sloužící při volumetrických stanoveních látek. Povšimněte si různého dávkování činidla na grafech dole vlevo.

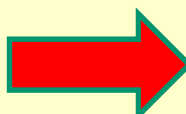
# Titrace: metody klasické kvantitativní analýzy



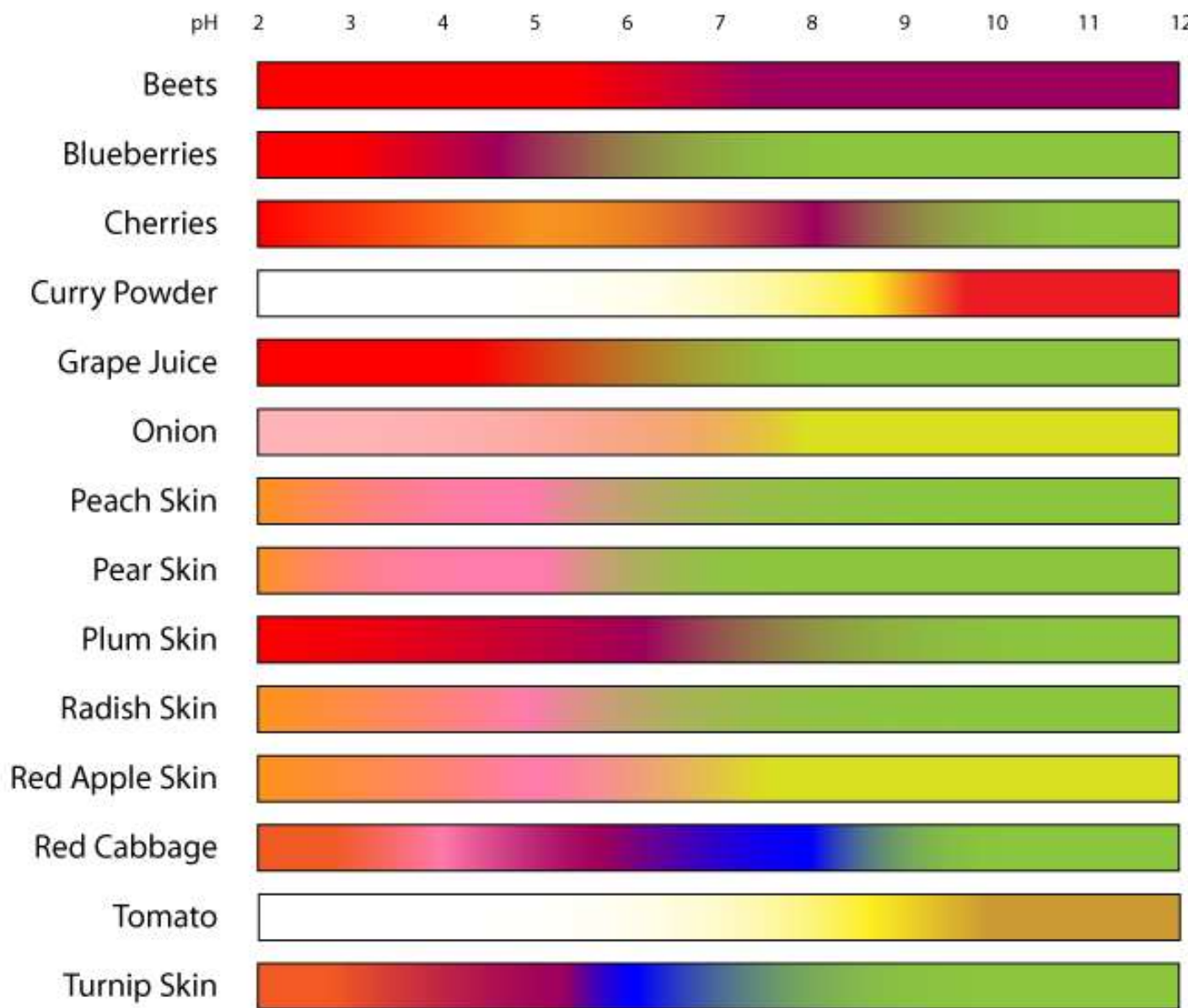


### ***Titrační křivky***

- CHCOOH + NaOH<sub>3</sub>
- HCl + NaOH
- CHCOOH + NHOH<sub>3</sub><sub>4</sub>
- HCl + NHOH<sub>4</sub>



## Edible pH Indicator Color Changes



# Metody klasické kvantitativní analýzy

## Odměrná srážecí analýza

Během titrace vzniká nerozpustná sraženina (resp. rozpustná, ale nepatrнě disociovaná).

Příklady: **argentometrie, merkurimetrie**

# Metody klasické kvantitativní analýzy

## Argentometrie:

Titruje se roztokem  $\text{AgNO}_3$ , lze stanovit  $\text{Cl}^-$ ,  $\text{Br}^-$ ,  $\text{I}^-$ ,  $\text{SCN}^-$

Indikátor: např. dvojchroman draselný (chroman Ag je červený)

# Metody klasické kvantitativní analýzy

## Merkurimetrie:

Titruje se roztokem  $\text{Hg}(\text{NO}_3)_2$ , lze stanovit  $\text{Cl}^-$ ,  $\text{Br}^-$ ,  $\text{I}^-$ ,  $\text{SCN}^-$

Indikátor: nitroprusid sodný  $\text{Na}_2[\text{Fe}(\text{CN})_5\text{NO}].2\text{H}_2\text{O}$ , dává bílý zákal nitroprusidu rtuťnatého

# Metody klasické kvantitativní analýzy

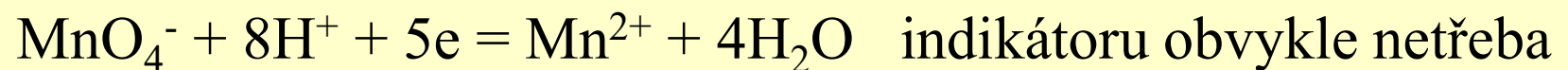
## Odměrná redoxní analýza:

Využívá kvantitativně probíhajících oxidačně-redukčních reakcí.

Příklady: **manganometrie, jodometrie**

# Metody klasické kvantitativní analýzy

## Manganometrie:

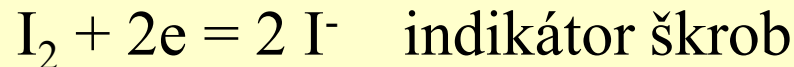


1 N roztok  $\text{KMnO}_4$  je tedy 1/5 molární (reaguje s 5 elektrony)

Stanovení železnatých solí, ferrokyanidu, arzenitých solí, dusitanů

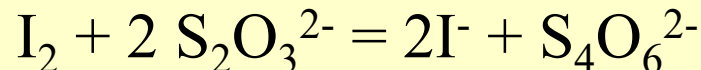
# Metody klasické kvantitativní analýzy

## Jodometrie:



Např. stanovení arsenitých solí (vznikají arseničnany)

Jodometrie využívá i reakce probíhající v opačném směru; látka reaguje s nadbytkem jodidu a uvolněný jod se titruje thiosíranem:



# Metody klasické kvantitativní analýzy

## Jodometrie:

(přidává se nadbytek jodidu a titruje se uvolněný jod thiosíranem)

Např. stanovení peroxidů, chlornanů, dvojchromanu

# Metody klasické kvantitativní analýzy

## Komplexometrie:

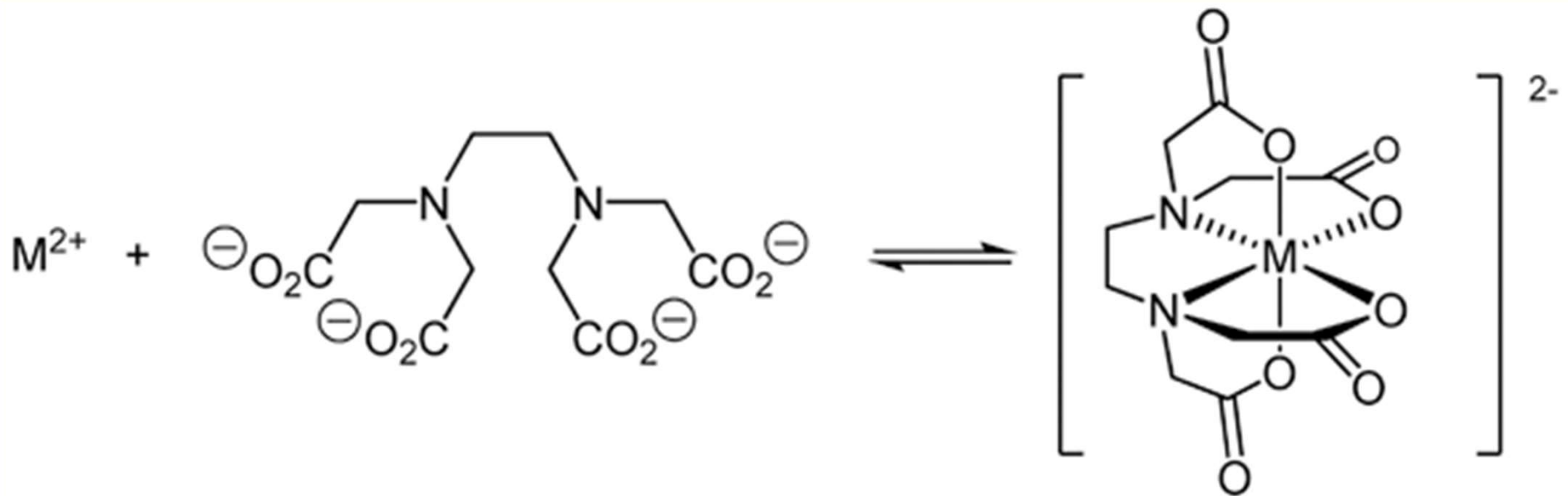
Je založena na vzniku nedisociováných komplexů. Nejčastěji se používá roztok Chelatonu 3 (tj. dvojsodné soli kyseliny ethylendiamintetraoctové,  $\text{Na}_2\text{EDTA}$ )

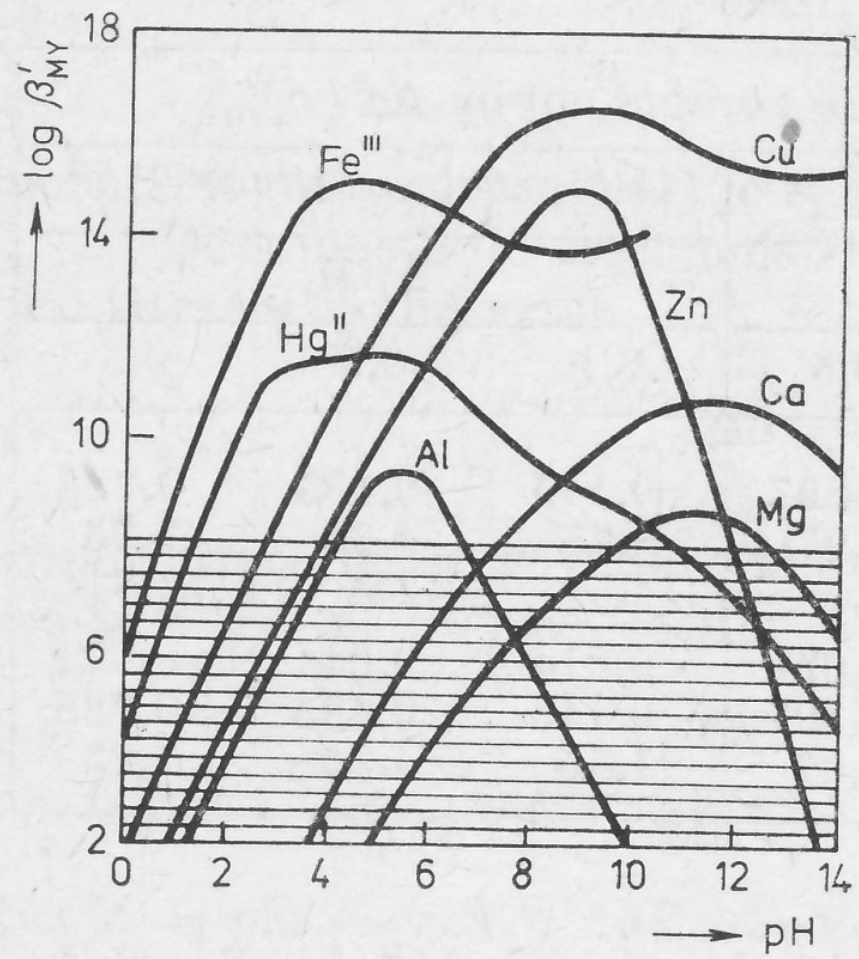
1 molekula  $\text{Na}_2\text{EDTA}$  reaguje vždy s 1 kationem kovu bez ohledu na jeho mocenství.

$\text{Na}_2\text{EDTA}$  reaguje s většinou běžných kationtů; stabilita komplexů je velká a je výrazně ovlivněna hodnotou pH.

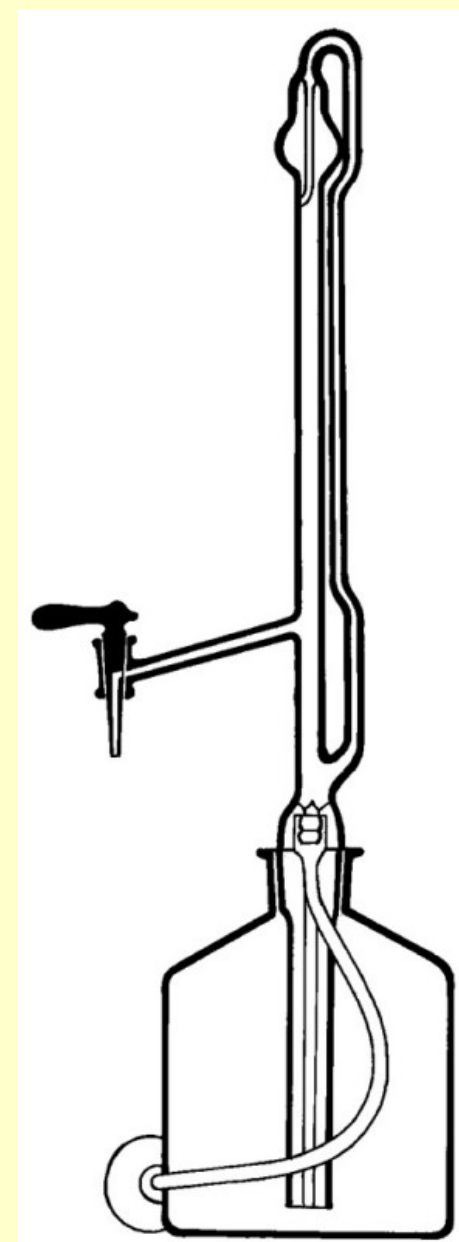
Jako indikátory se používají látky, tvorící se stanovovanými kovy méně pevné barevné komplexy.

# Komplexometrie: základem je EDTA etylendiamintetraaminooctová kyselina





Obr. 73. Závislost podmíněných konstant stability některých komplexů EDTA s kationty na pH (hodnoty  $\log \beta'_{MY}$  viz [2]). Oblast, ve které je  $\beta'_{MY} < 10^8$ , je vyznačena šrafováním



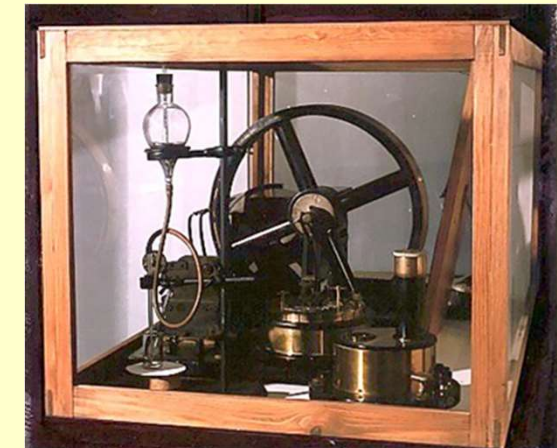


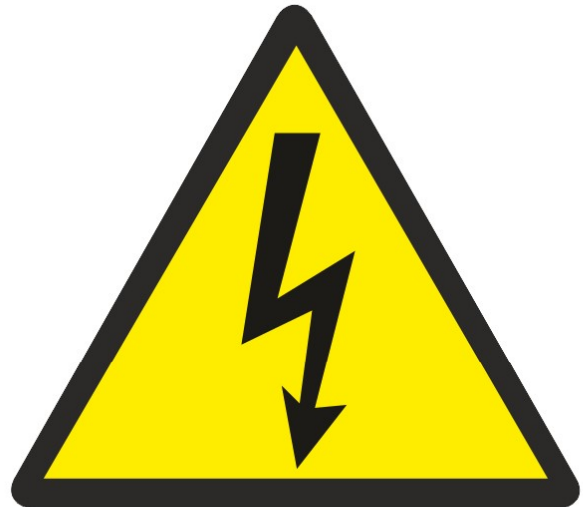
## Základy instrumentální analýzy ("těžká přístrojová chemie")

Voltametrie  
Polarografie  
Diferenční pulzní a cyklická voltamterie

Absorpční UV/VIS spektrofotometrie  
Fluorescenční spektroskopie  
Atomová absorpční spektrometrie  
ICP-MS

PIXE  
EDAX



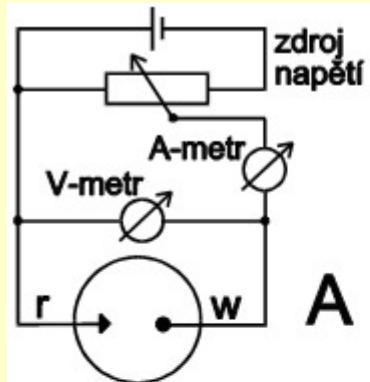


**POZOR  
ELEKTRICKÉ  
ZAŘÍZENÍ**

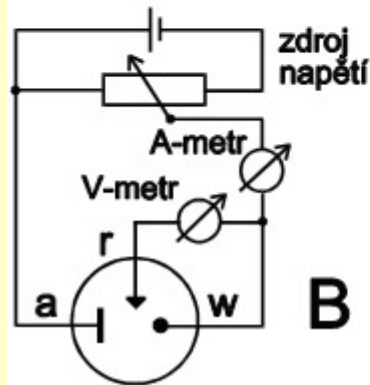
**NEHAS VODOU ANI  
PĚNOVÝMI HASÍCÍMI  
PŘÍSTROJI**

# Elektrochemické analytické metody

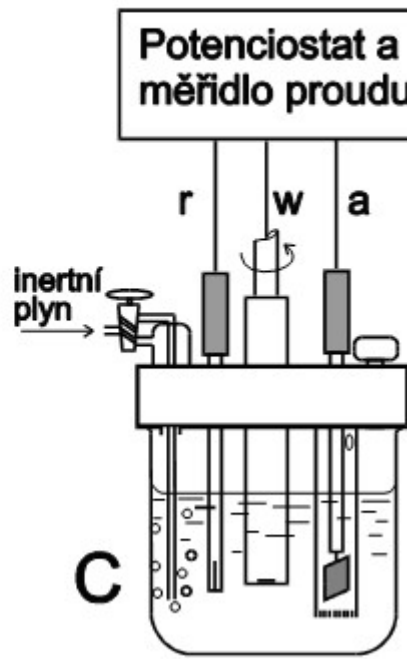
- Založeny na měření některé z elektrických veličin (**napětí** na elektrodách, procházející elektrický **proud**, spotřebovaný **náboj**, **vodivost** roztoku, relativní **permitivita**)
- Měřená veličina musí být jednoznačně závislá na koncentraci stanovované látky
- Využívá se zde jevů spojených s reakcí přenosu náboje na fázovém rozhraní nebo jevů spojených s transportem nabitých částic v roztoku



**A**



**B**



**Voltametrie (a polarografie)** jsou elektroanalytické metody založené na vzniku elektrochemických článků tvořených pracovní polarizovatelnou elektrodou a referentní nepolarizovatelnou elektrodou. Měří se časová závislost proudu protékajícího pracovní elektrodou na potenciálu měnícím se s časem, který je na ni vkládán. Proud závisí na koncentraci analyzované látky.

# Voltametrie: pracovní nádobky



Alessandro Volta  
1745-1827



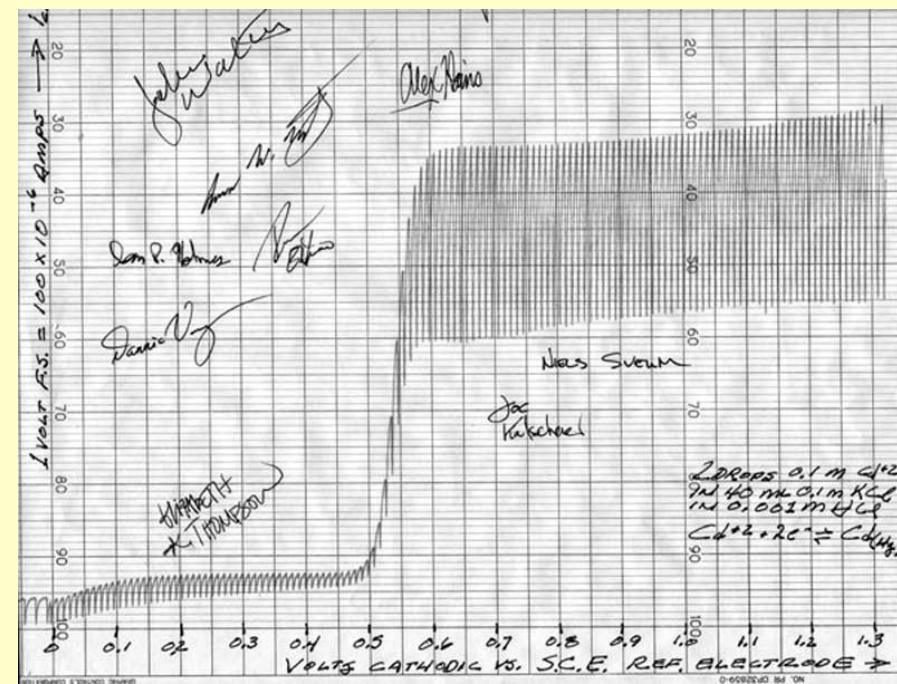
## Přehled technik v letošním kurzu:

- a) polarografie
- b) diferenční pulzní voltametrie
- c) cyklická voltametrie

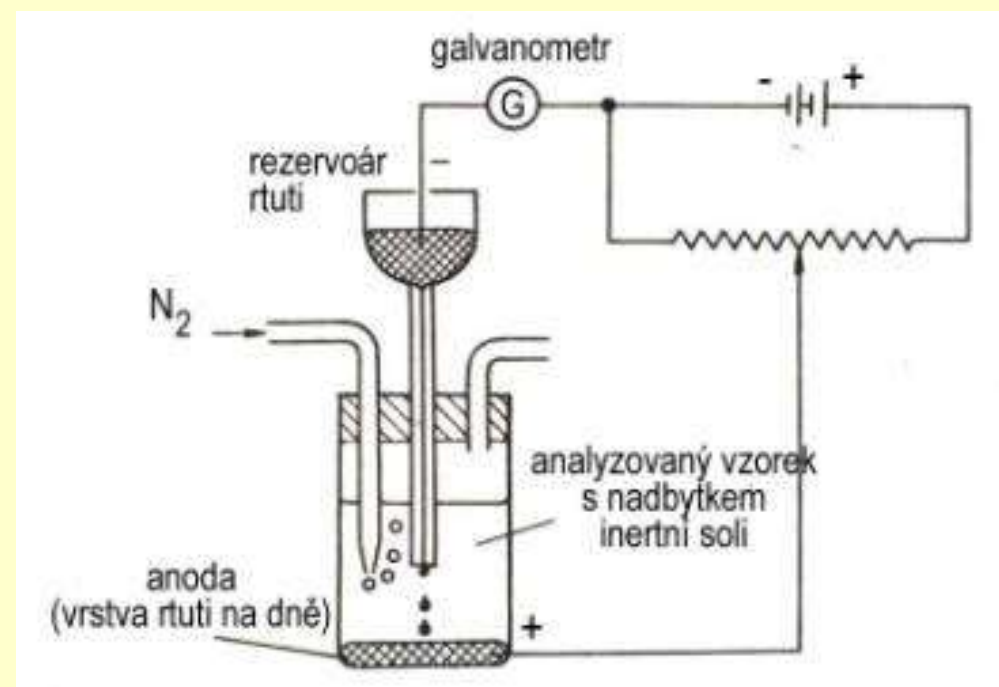
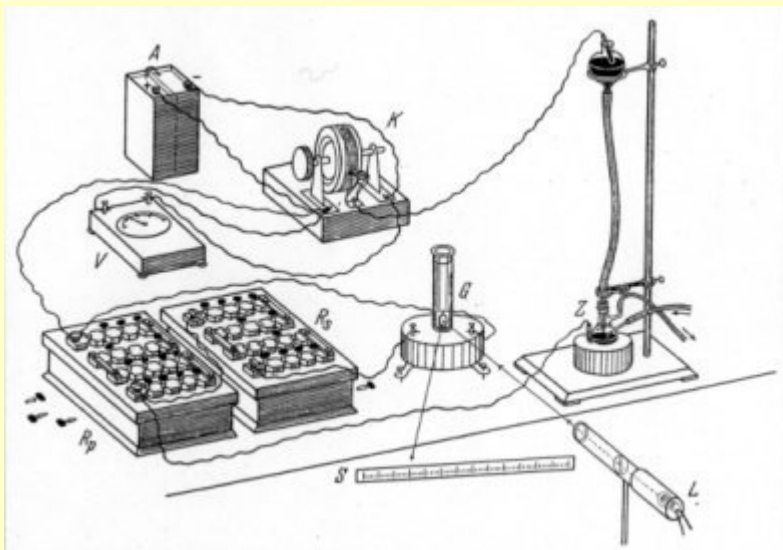
# A) Polarografie

Polarografie (voltametrie) : základ nejvýznamnějších současných elektrochemických technik

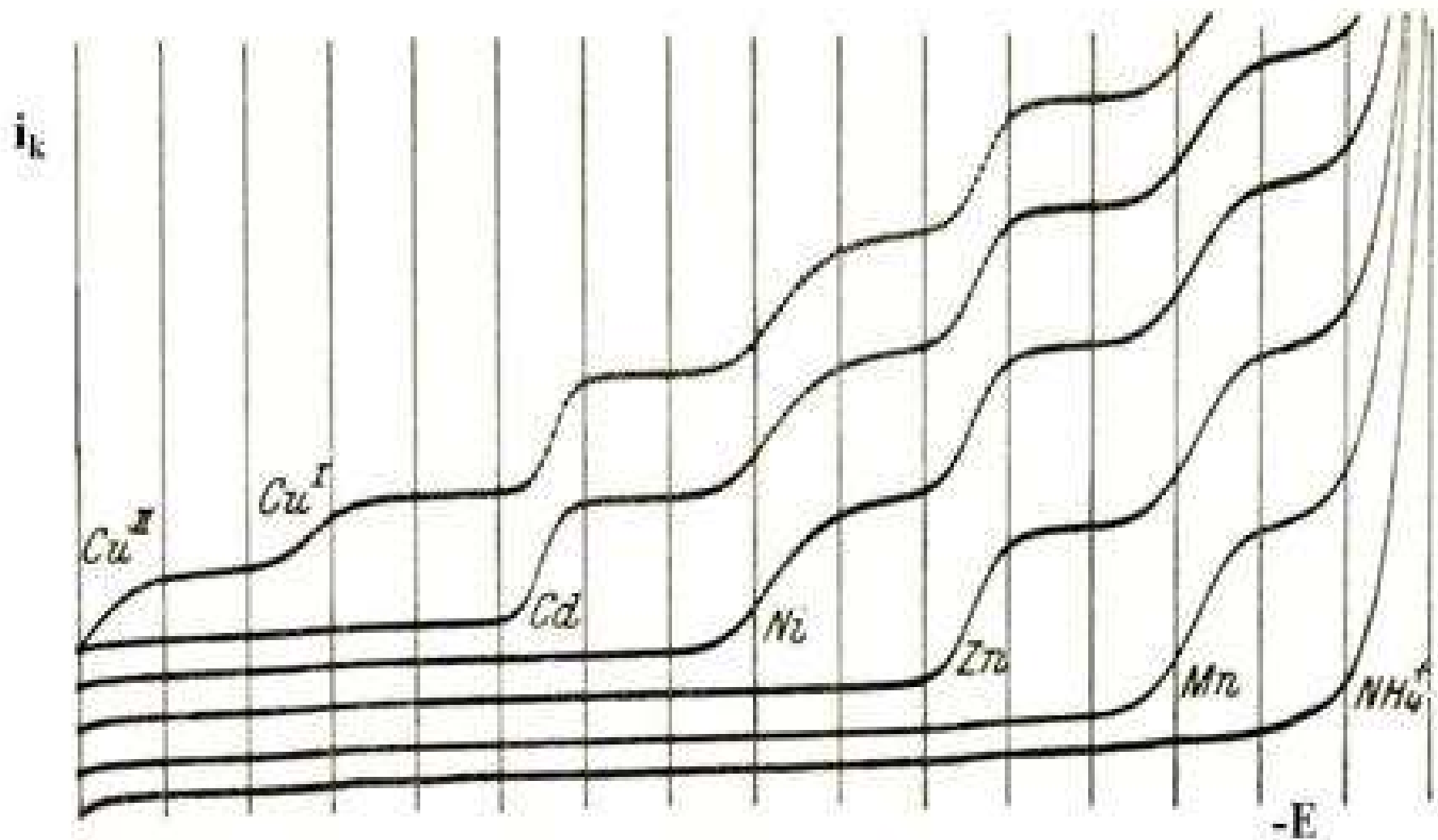
Slouží k určování přítomnosti a koncentrace neznámých látek v roztoku. Princip spočívá ve vyhodnocování závislosti elektrického proudu na napětí na dvojici elektrod, které jsou ponořené do roztoku, v němž probíhá elektrolýza. Závislosti mají tvar vln, jejichž poloha charakterizuje jednotlivé druhy látek. Z velikosti nárůstu proudu lze určit koncentraci příslušné látky.



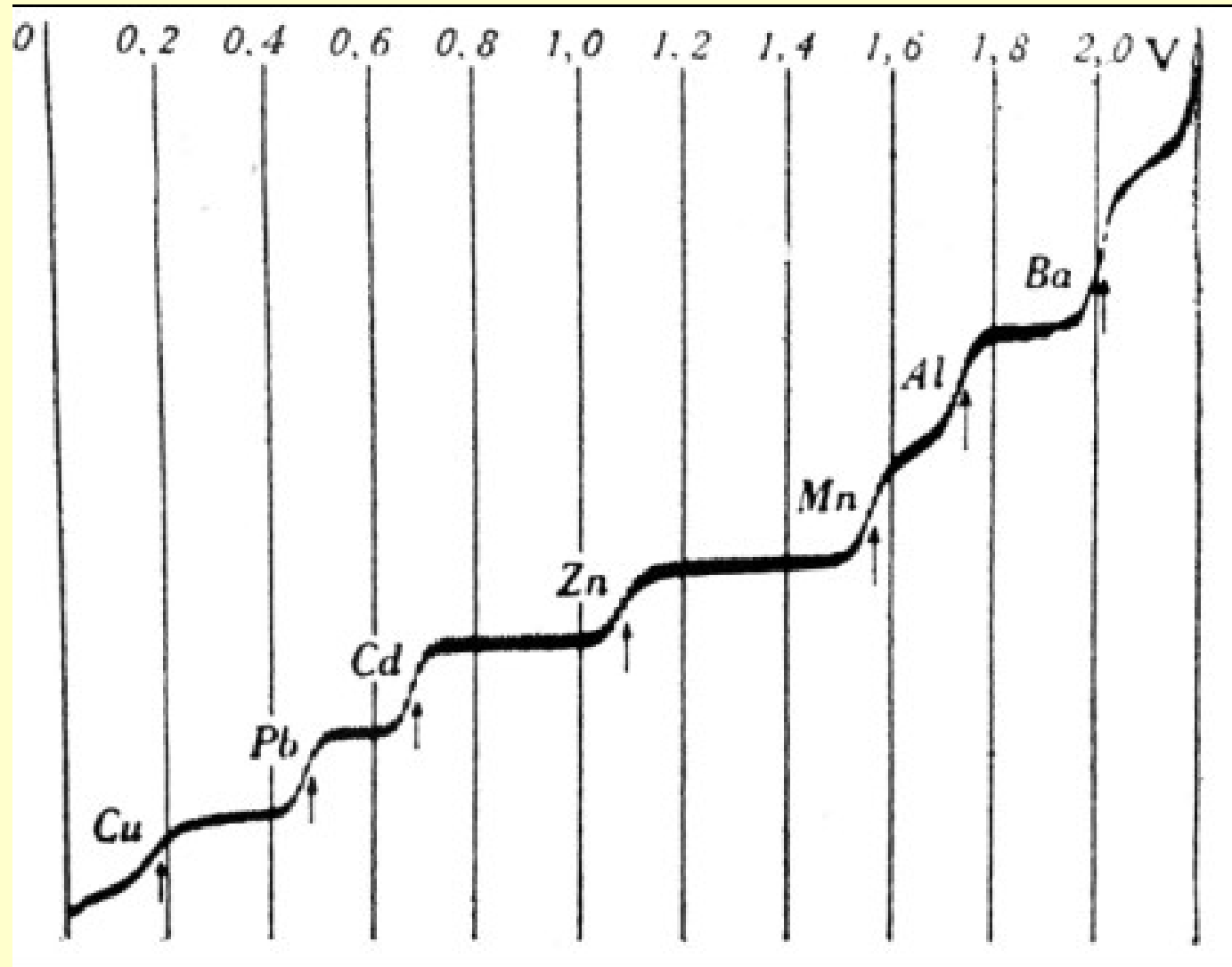
# Klasická polarografie: voltametrie se rtut'ovou elektrodou



1959: Nobelova cena pro J. Heyrovského



Příklady polarografických křivek některých depolarizátorů



Za svoj objav polarografie bol profesor Jaroslav Heyrovský ocenený Nobelovou cenou za chémiu v roku 1959. Jeho žiak Dionýz Ilkovič sa považuje za zakladateľa fyziky na Slovensku.

## Ilkovičova rovnice pro střední limitní difúzní proud

- Ilkovič vycházel z odvození výrazu pro koncentrační gradient při lineární difúzi ke rtuťové kapkové elektrodě
- Ilkovičova rovnice pro okamžitou hodnotu difúzního proudu má tvar:

$$I = k' \cdot z \cdot F \cdot D^{1/2} \cdot m^{2/3} \cdot t^{1/6} \cdot (c - c^0)$$

I ... okamžitá hodnota difúzního proudu

k' ... numerická konstanta

z ... počet vyměňovaných elektronů

F ... Faradayova konstanta

D ... difúzní koeficient

m ... hmotnostní průtok rtuti

t ... čas

c ... koncentrace depolarizátoru v roztoku

c<sup>0</sup> ... koncentrace depolarizátoru na povrchu elektrody

# Voltametrie

- Voltametrie je založena na měření polarizačních křivek
- Při voltametrické analýze se používají rozličné pracovní elektrody z různých materiálů (obvykle se jedná o elektrody **platinové, zlaté, uhlíkové i rtuťové**)
- Velmi časté je použití **rotujících diskových elektrod**
- Depolarizátor se dostává k povrchu rotující diskové elektrody **konvektivně-difúzním transportem**
- Konvekcí se dostává depolarizátor do blízkosti povrchu elektrody, kde se utváří tenká difúzní vrstva
- Pro konvektivně-difúzní limitní proud platí **Levičova rovnice** ve tvaru:

$$I_l = \pm k' \cdot z \cdot F \cdot p \cdot r^2 \cdot D^{2/3} \cdot n^{-1/6} \cdot w^{1/2} \cdot c = k \cdot c$$

$I_l$  ... konvektivně-difúzní limitní proud

$k'$  ... numerická konstanta

$z$  ... počet vyměňovaných elektronů

$F$  ... Faradayova konstanta

$r$  ... poloměr diskové elektrody

$D$  ... difúzní koeficient

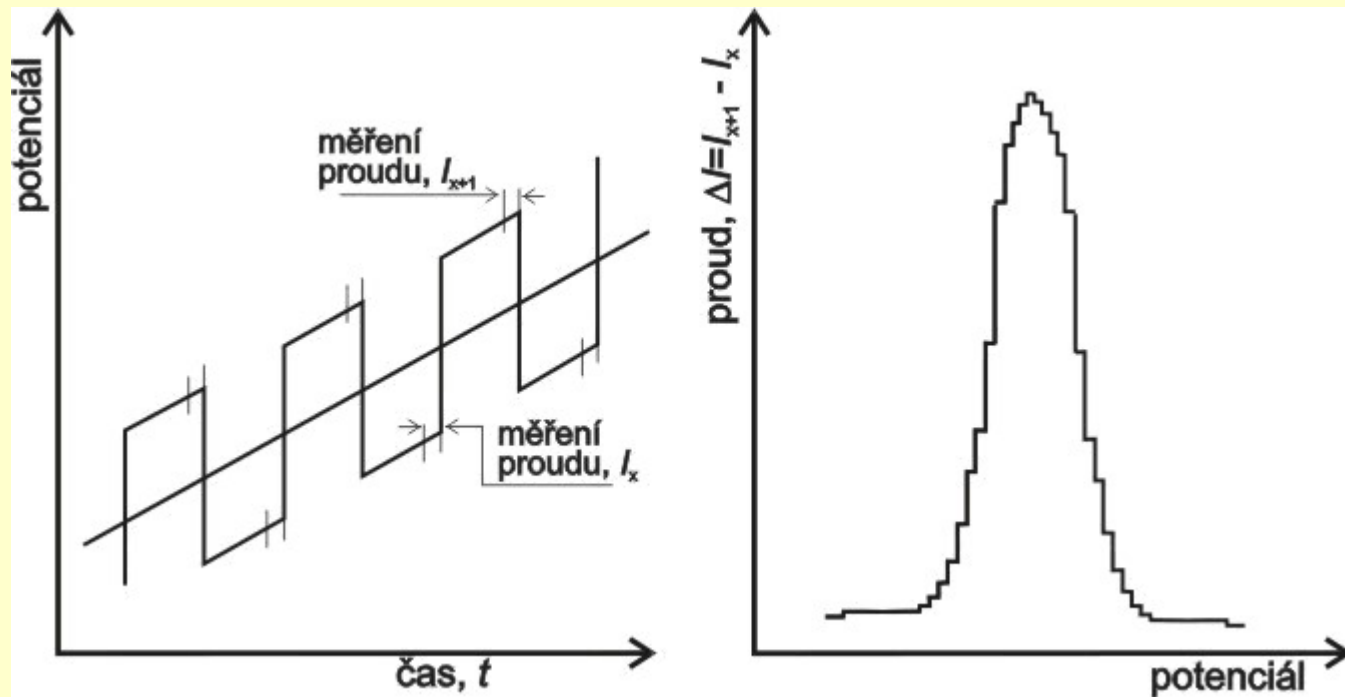
$n$  ... kinematická viskozita roztoku

$w$  ... úhlová rychlosť otáčení elektrody

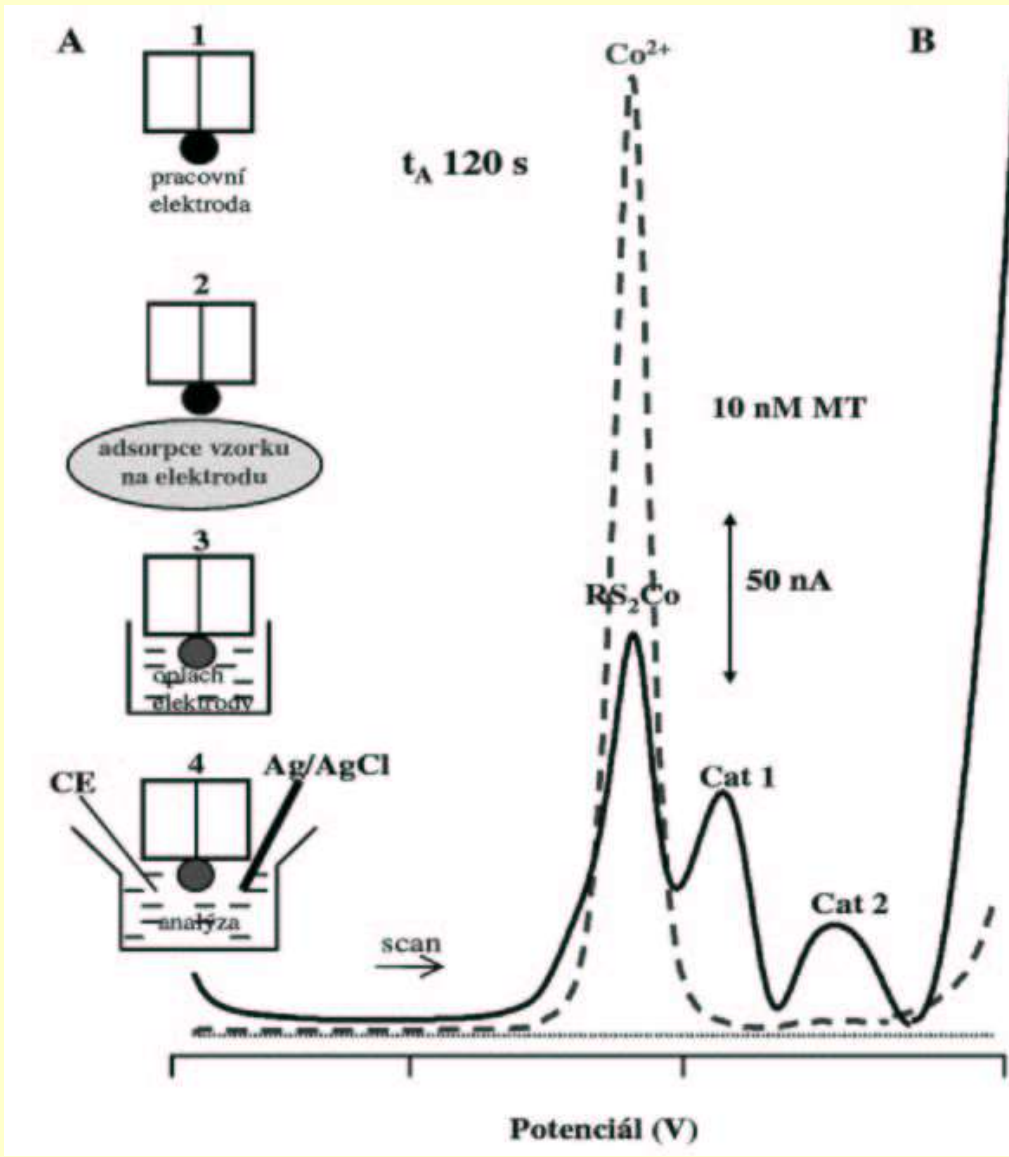
$c$  ... koncentrace depolarizátoru

$k$  ... numerická konstanta

## b) Diferenční pulzní voltametrie



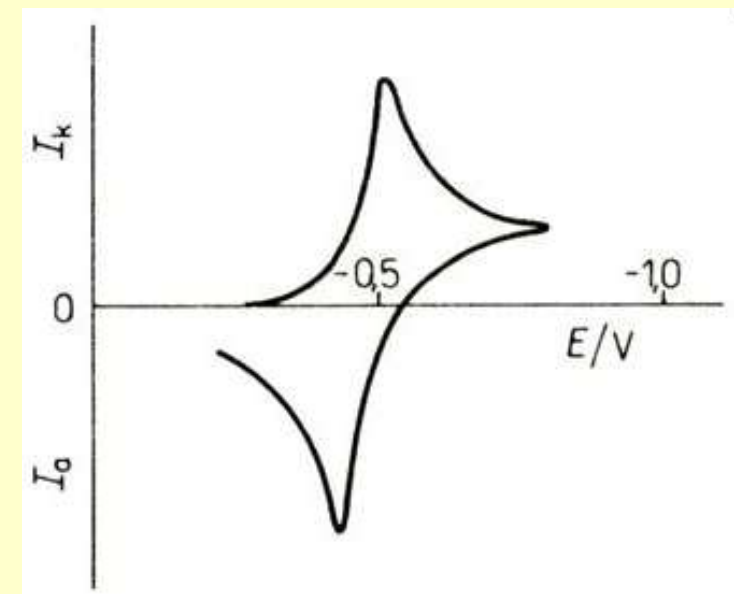
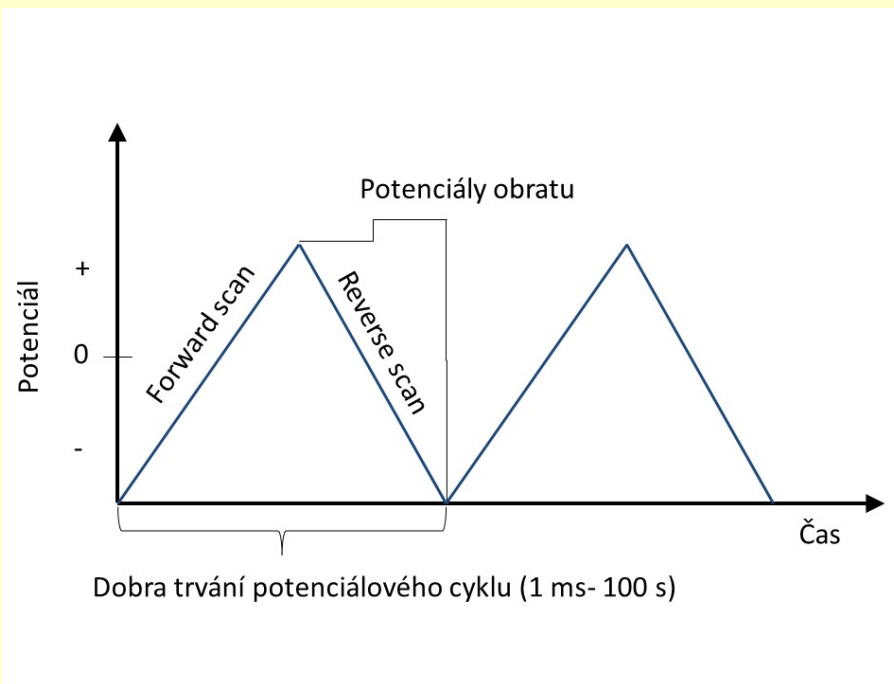
Difer. pulzní voltametrie – průběh potenciálu vkládaného na pracovní elektrodu (vlevo) a závislost proudu na potenciálu (vpravo).



Příklad: DPP stanovení metallothioneinu v séru onkologických pacientů

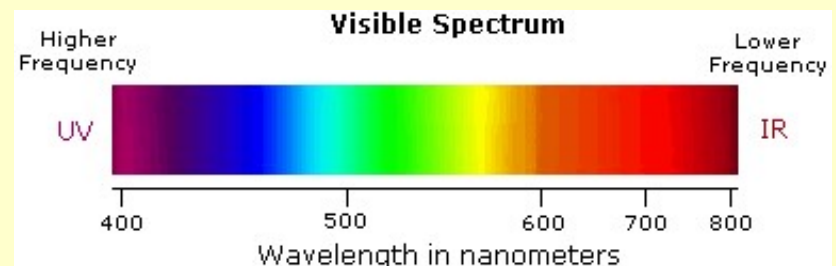
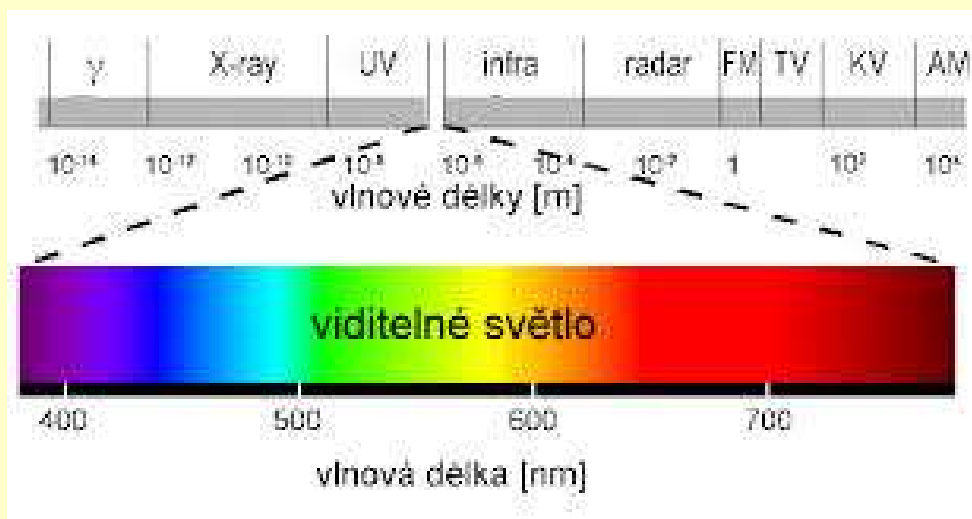
## c) Cyklická voltametrie

Měření probíhá tak, že napětí na pracovní elektrodě vůči referenční elektrodě je cyklicky lineárně navýšováno a snižováno. Rychlosť polarizace se typicky pohybuje od 10 do 200 mV/s. Cyklické změny napětí vyvolávají změny proudu, které jsou zaznamenávány a vynášeny v podobě závislosti napětí na proudu.

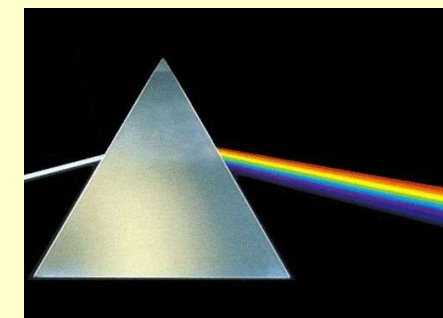


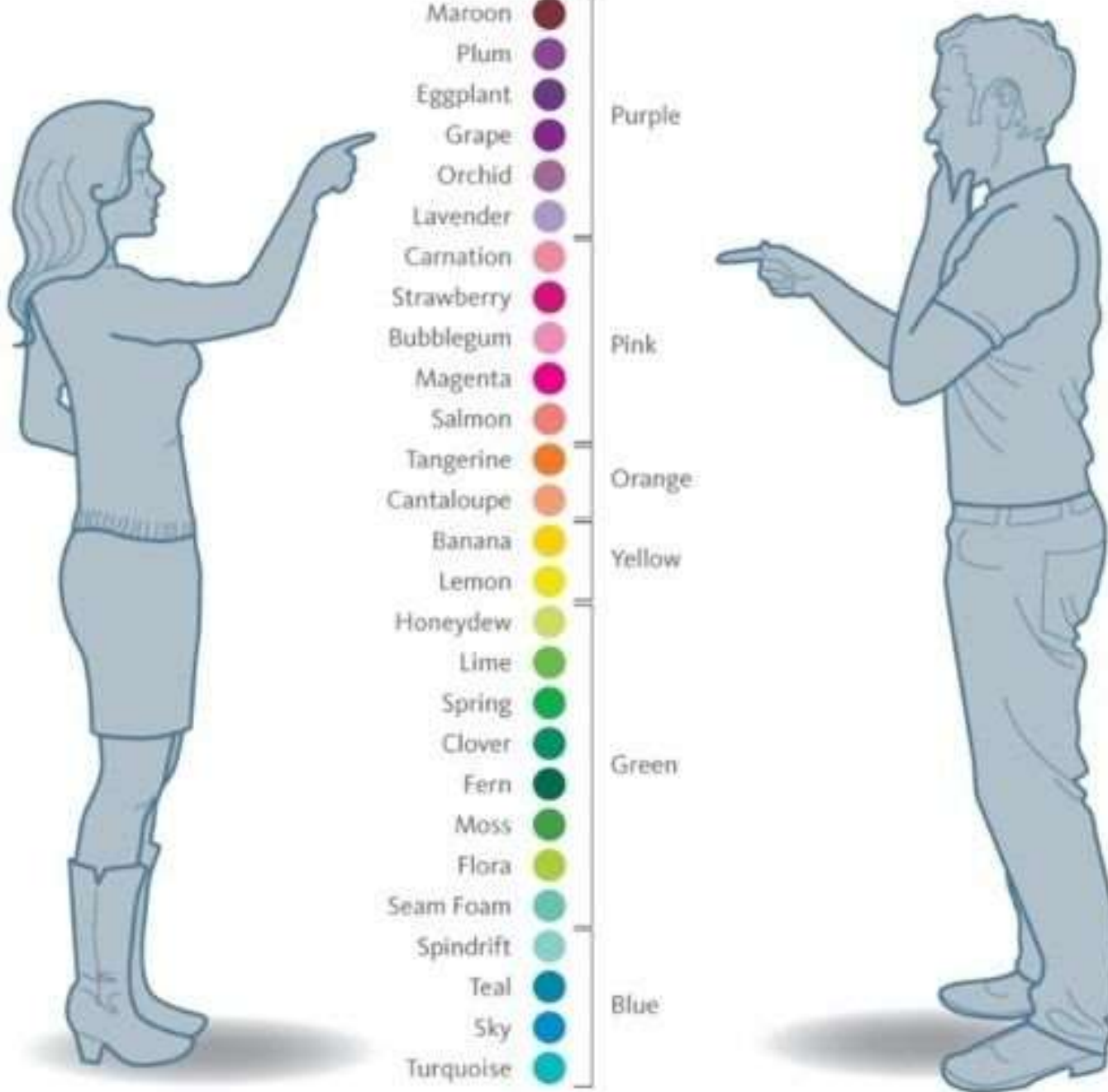
# Spektrofotometrické metody: absorpcie záření

Při anorganické analýze se velmi často používají metody, založené na absorpci záření různých vlnových délek.



200 – 400 nm UV oblast  
400 – 800 nm viditelná (VIS)



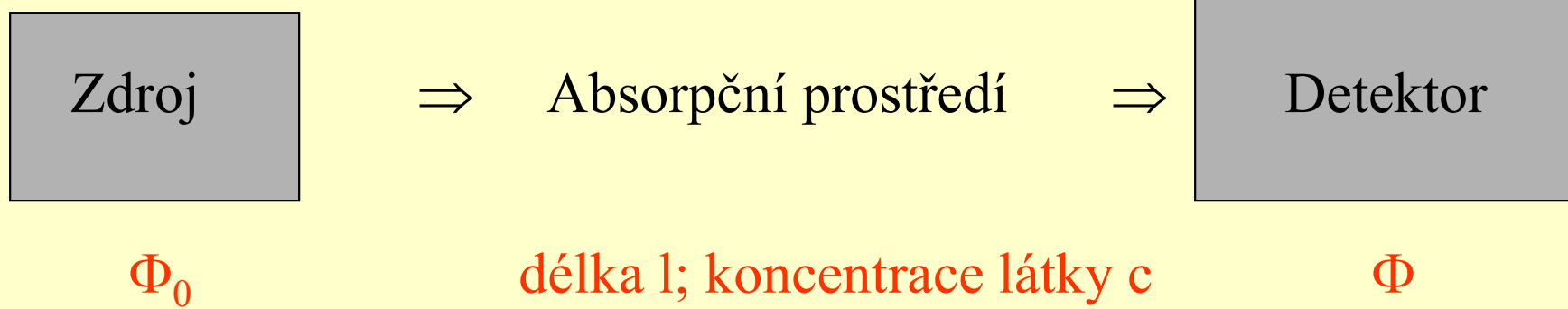


Maraschino	Red
Cayenne	
Maroon	
Plum	Purple
Eggplant	
Grape	
Orchid	
Lavender	
Carnation	
Strawberry	Pink
Bubblegum	
Magenta	
Salmon	
Tangerine	Orange
Cantaloupe	
Banana	Yellow
Lemon	
Honeydew	
Lime	
Spring	Green
Clover	
Fern	
Moss	
Flora	
Seam Foam	
Spindrift	
Teal	Blue
Sky	
Turquoise	

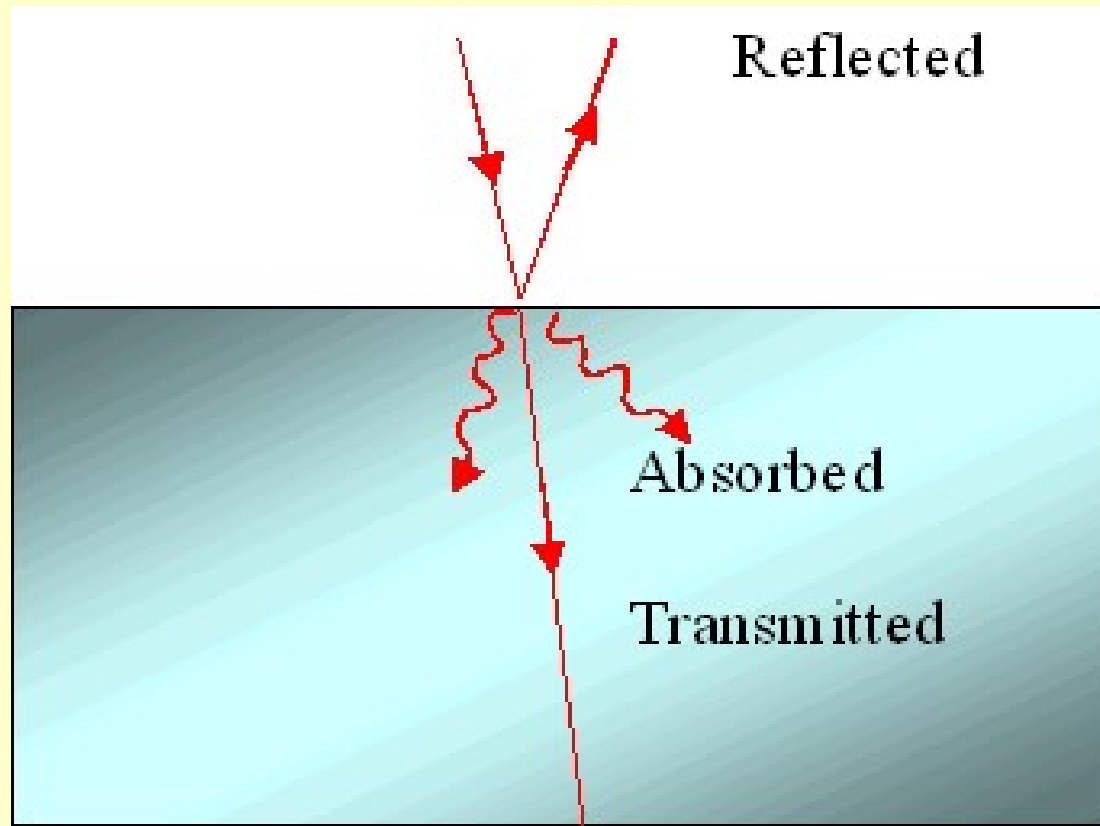
# Instrumentální metody: absorpcie záření

Úvod do absorpčních optických metod:

Obecný princip: světlo určité vlnové délky je pohlcováno analyzovanou látkou. Stupeň absorpcie (pohlcení) je možno zjistit měřením toku záření  $\Phi$ :

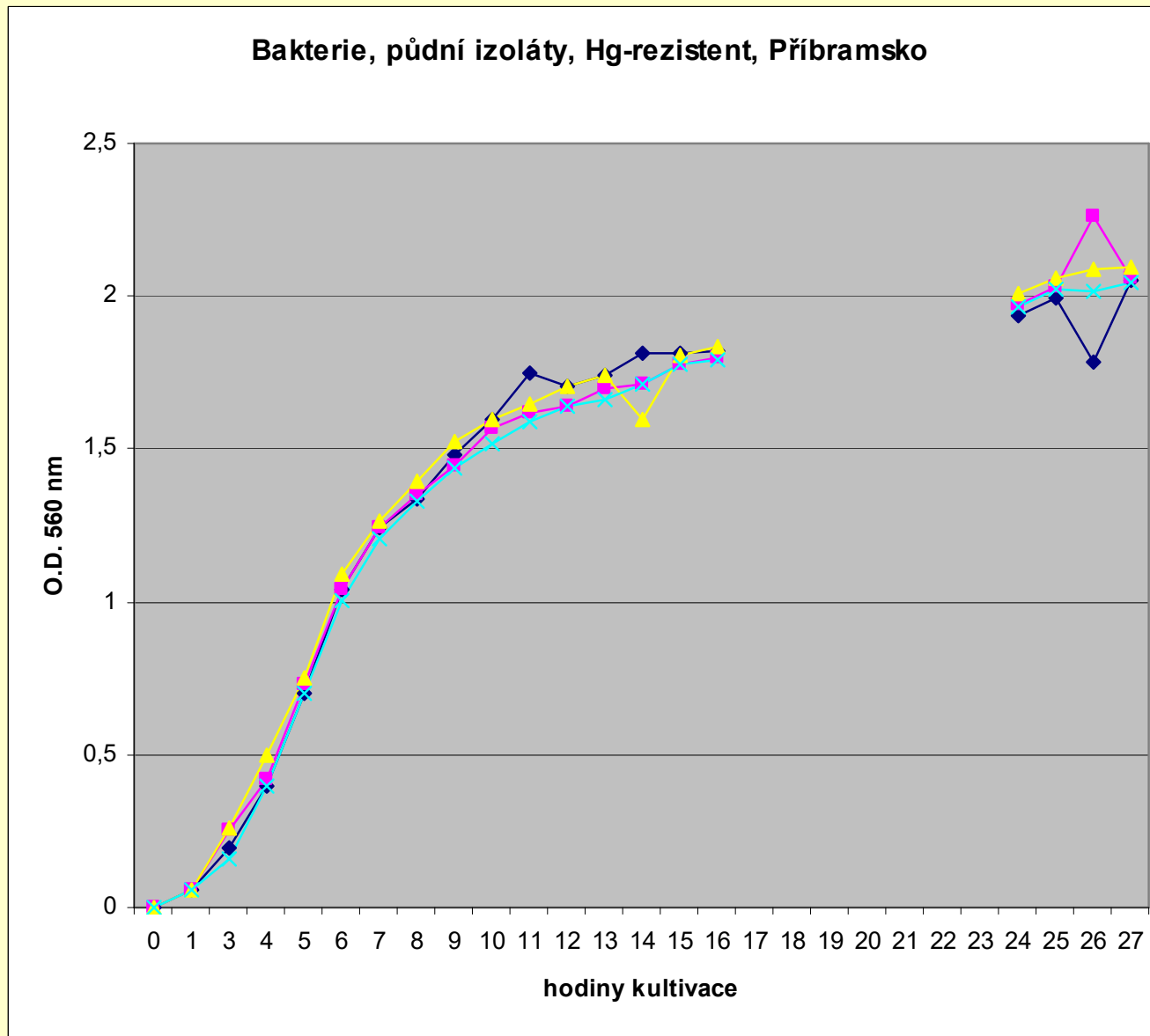


## Instrumentální metody: absorpcie záření

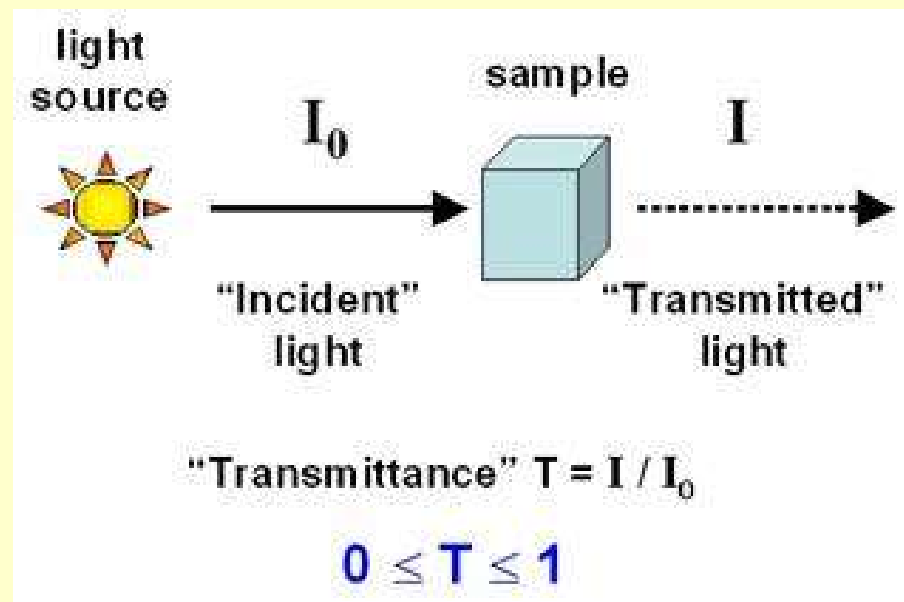
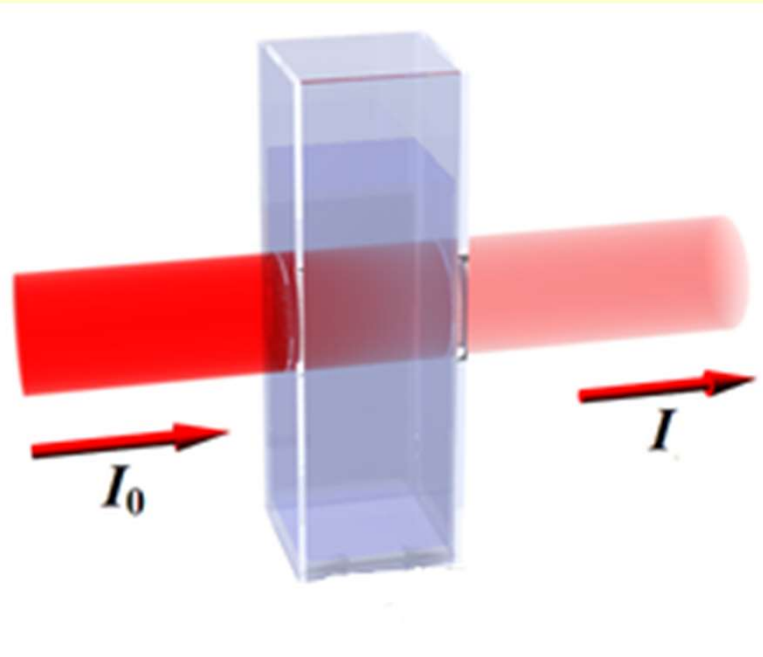


O.D. – optická densita: použití při stanovení „koncentrace“ bakterií/mikroorganismů

# Optická densita ( $A_{560}$ ) – charakteristika množství bakterií v roztoku



# Instrumentální metody: Transmitance (T) ...a její záporný dekadický logaritmus



# Instrumentální metody: absorpce záření

Poměr mezi  $\Phi$  a  $\Phi_0$  je možné změřit. Veličina

$$\Phi/\Phi_0 = T$$

se nazývá „**transmitance**“. Pro praxi je významnější veličina

$$A = - \log T$$

zvaná „**absorbance**“. Transmitanci i absorbanci přímo měří přístroj.

## Instrumentální metody

Kvantitativní vztah mezi koncentrací pohlcující látky  $c$  a měřitelným světelným tokem  $\Phi$  při vlnové délce  $\lambda$  vystihuje Lambert-Beerův zákon:

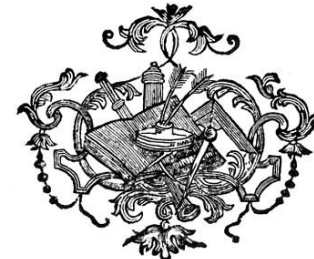
$$A = \varepsilon_\lambda \cdot c \cdot l$$

kde  $c$  = koncentrace látky (v mol/l) a  $l$  = délka prostředí, tj. měrné kyvety v cm a  $\varepsilon_\lambda$  je tzv. lineární molární absorpční koeficient, závislý na vlnové délce  $\lambda$ .

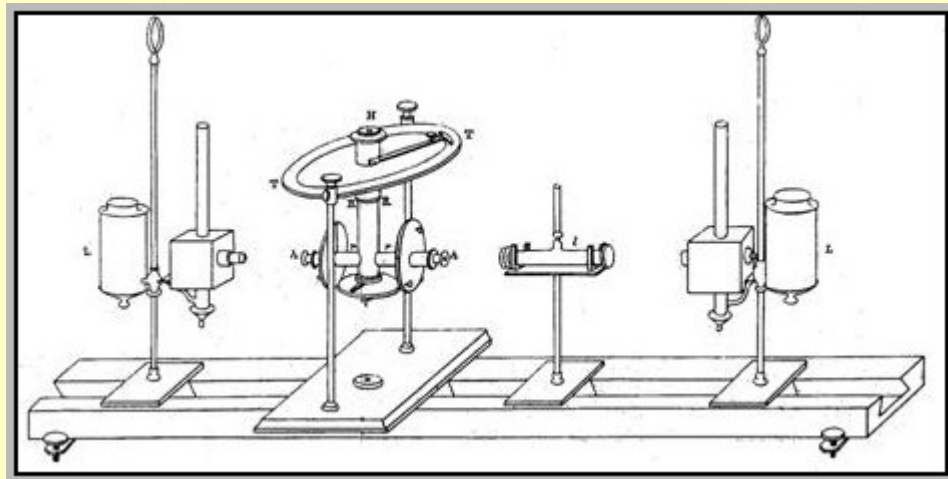


Johan Heinrich Lambert (1728 – 1777)  
*Photometria*, 1760

I. H. LAMBERT  
ACADEMIAE SCIENTIARVM ELECTO-  
RALIS BOICAE, ET SOCIETATIS PHYSICO-ME-  
DICAЕ BASILIENSIS MEMBRI, REGIAE SOCIETATI  
SCIENTIARUM GOETINGENSI COMMERCIO  
LITERARIO ADIVNTI  
**PHOTOMETRIA**  
SIVE  
DE  
MENSURA ET GRADIBVS  
LVMINIS,  
COLORVM ET VMBRAE.



Augustae Vindelicorum,  
Sumptibus Viduae Eberhardi Klett  
Typis Christophori Petri Detleffsen.  
MDCCCLX.



Fotometr navržený Beerem

August Beer (1825 – 1863)  
Einleitung in die höhere Optik  
(1854)

EINLEITUNG

IN DIE

# HÖHERE OPTIK

VON

DR. AUGUST BEER,  
Privatdozenten an der Universität Bonn.

MIT 212 IN DEN TEXT EINGEDRUCKTEN HOLZSCHNITTEN UND 2 TAFELN  
MIT 50 ABBILDUNGEN IN KUPFERSTICH.

---

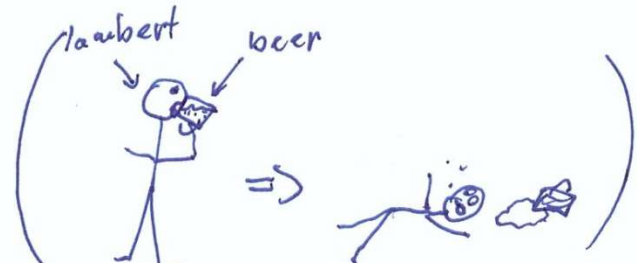
BRAUNSCHWEIG,  
DRUCK UND VERLAG VON FRIEDRICH VIEWEG UND SOHN.

1 8 5 3.

16. Napište rovnici Lambert-Beerova zákona a vysvětlete význam jednotlivých symbolů.  
(2 body)

$$A = e \cdot c \cdot l$$

- a... absorbance
- c... koncentrace absorbuječní roztoky
- l... délka absorbuječní vlny (prostředí / kvety)
- e... molární absorbní koeficient



17. Kdo z čechů získal Nobelovu cenu za chemii a za co? (2 body)

pan Heyrovský

za polygrafii

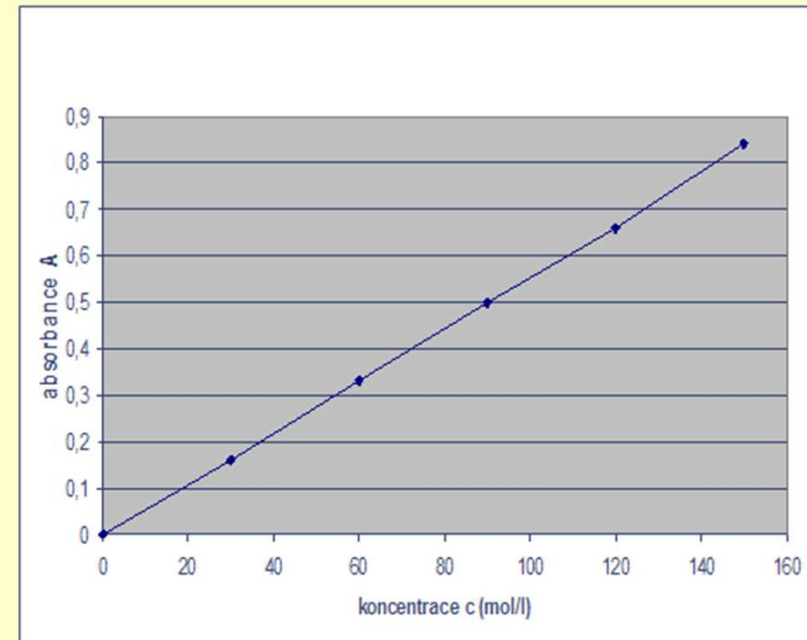
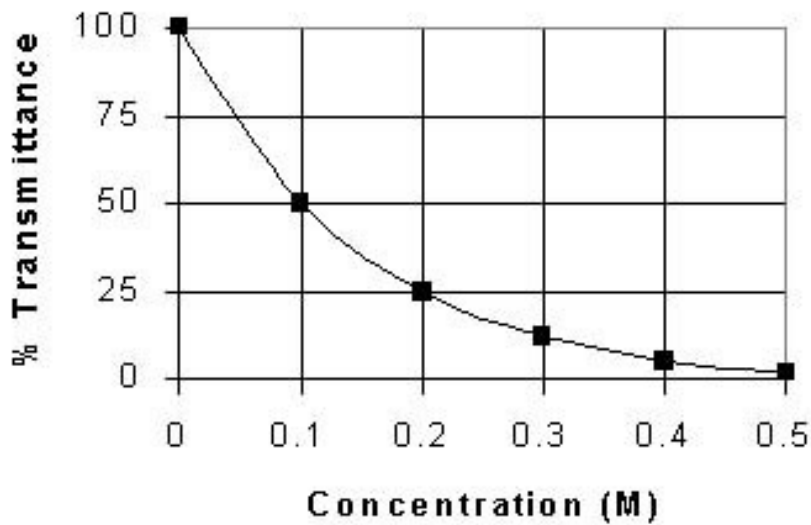
## Instrumentální metody – UV/VIS spektrofotometrie

Absorpce UV/VIS záření je výsledkem interakce  
záření – molekula.

Nejběžnější jsou excitace  $\pi - \pi^*$   
přechody  $\sigma - \sigma^*$  nejsou tak časté.

# Instrumentální metody

Linearita Lambert-Beerova zákona (tj. **závislost A na c**) se musí vždy v daném rozsahu koncentrací experimentálně ověřit pomocí kalibrace standardním roztokem.



## Instrumentální metody – UV/VIS spektrofotometrie

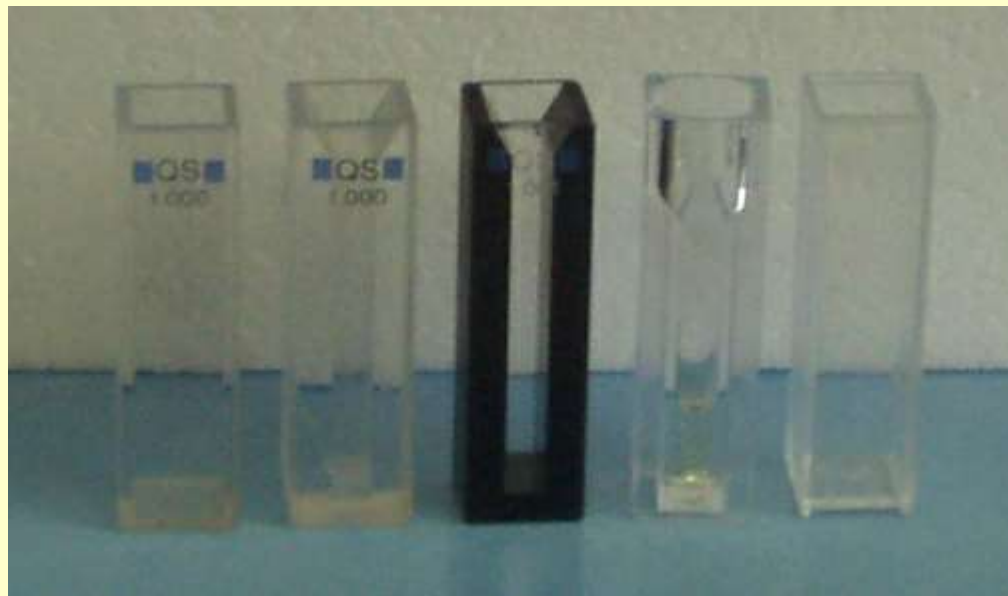
Spektrofotometrie v UV-VIS oblasti, tj v oblasti vlnových délek 190 – 400 nm (UV) a 400 – 800 nm (VIS).



# Instrumentální metody – UV/VIS spektrofotometrie



# Instrumentální metody – UV/VIS spektrofotometrie



# Instrumentální metody – UV/VIS spektrofotometrie



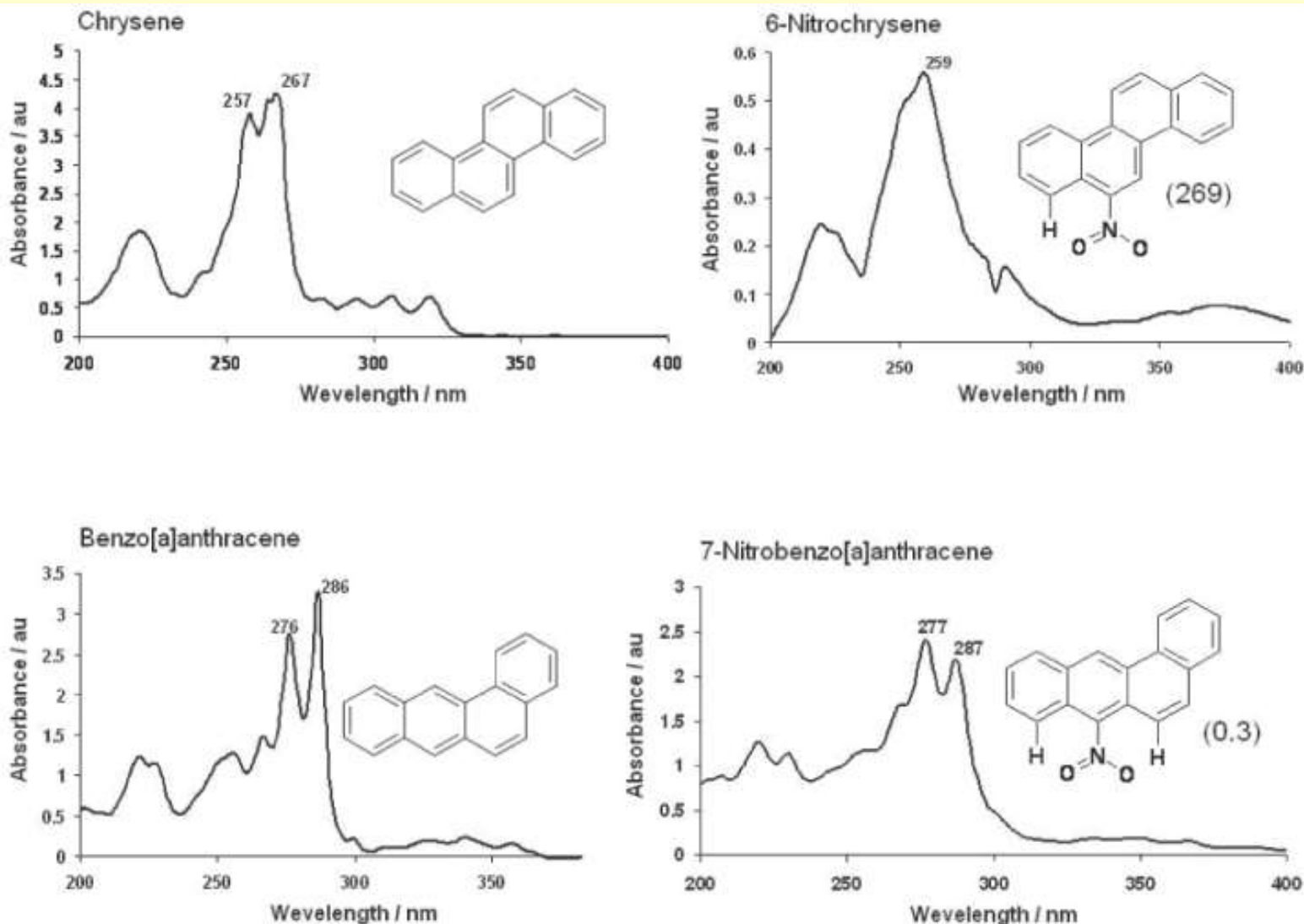


Nanodrop: měření UV/VIS spekter nebo absorbance v objemech cca 1-2  $\mu$ l

UV/VIS spektrum je závislost Absorbance na vlnové délce; je pro danou látku vždy charakteristické

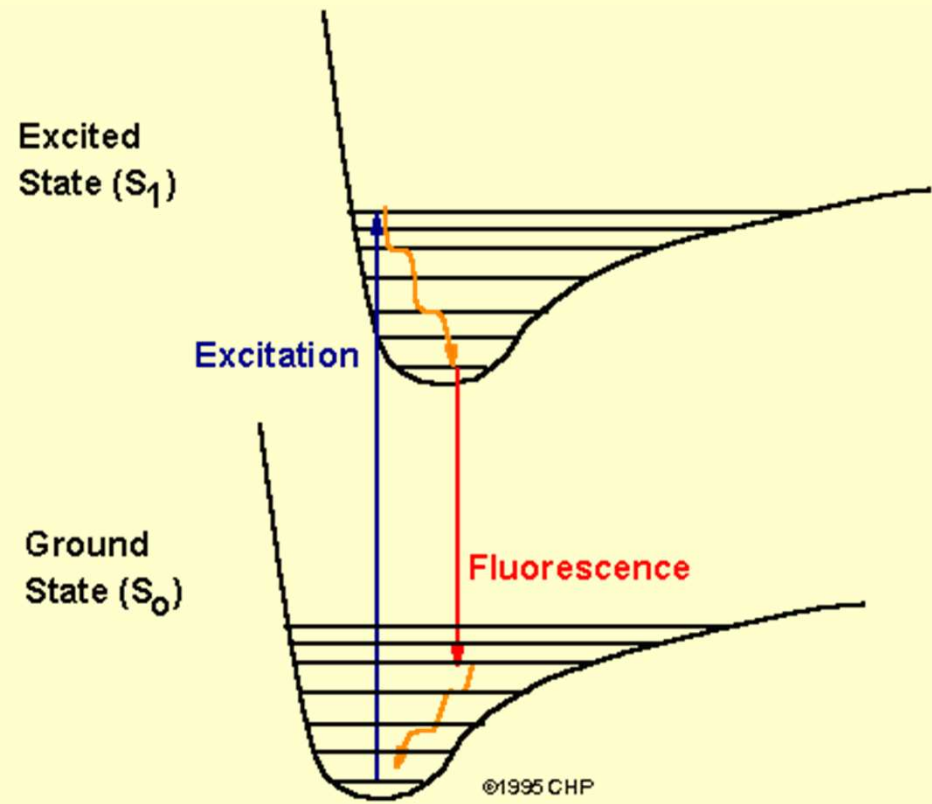
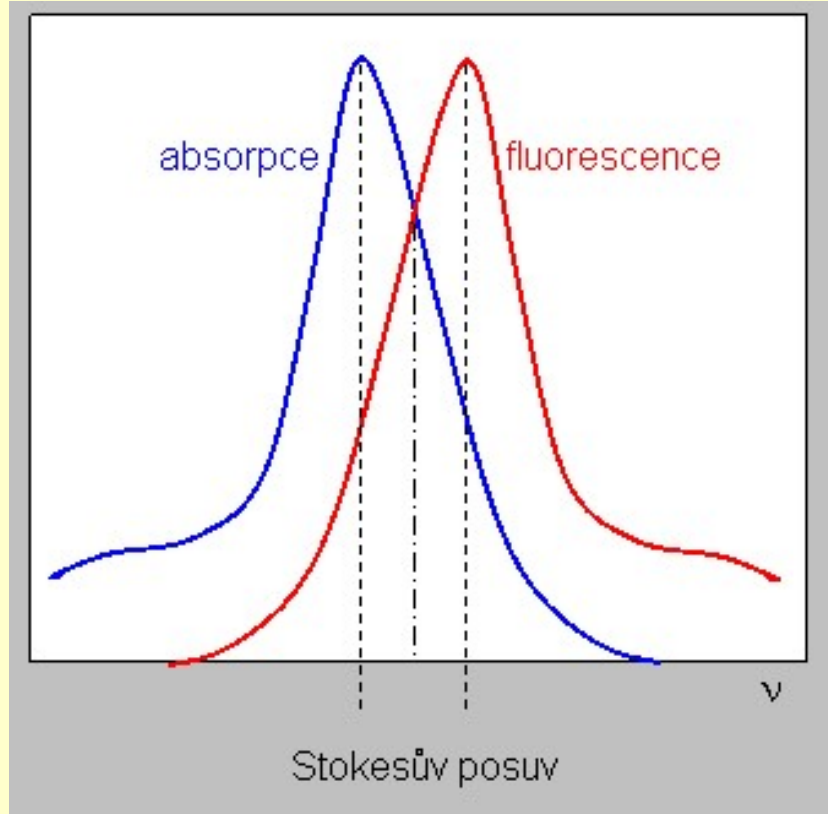


## UV/VIS spektrum: zdroj informace o struktuře látky



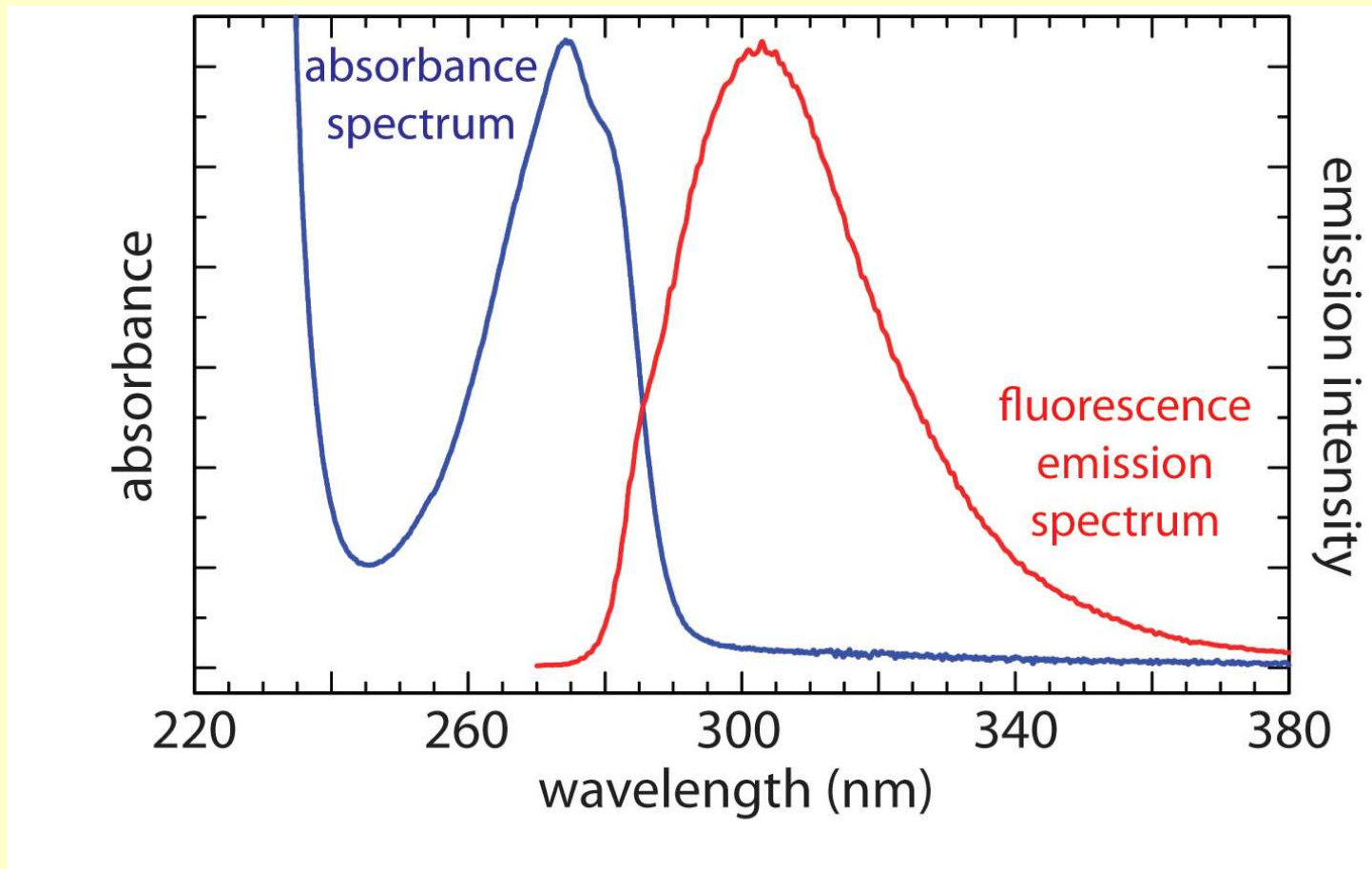
**Figure 2.** UV spectra of Chrysene, Benzo[a]anthracene, 6-Nitrochrysene and 7-Nitro-benzo[a]anthracene, and mutants per nmol (in parenthesis), from ref. 6, of 6-Nitrochrysene and 7-Nitro-benzo[a]anthracene.

# Fluorescenční spektroskopie



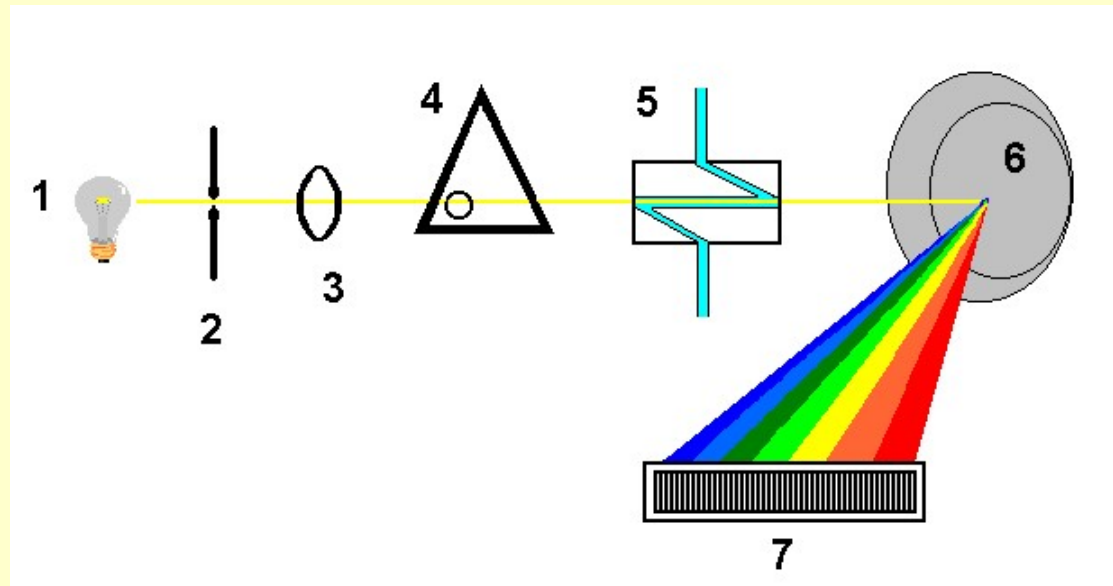
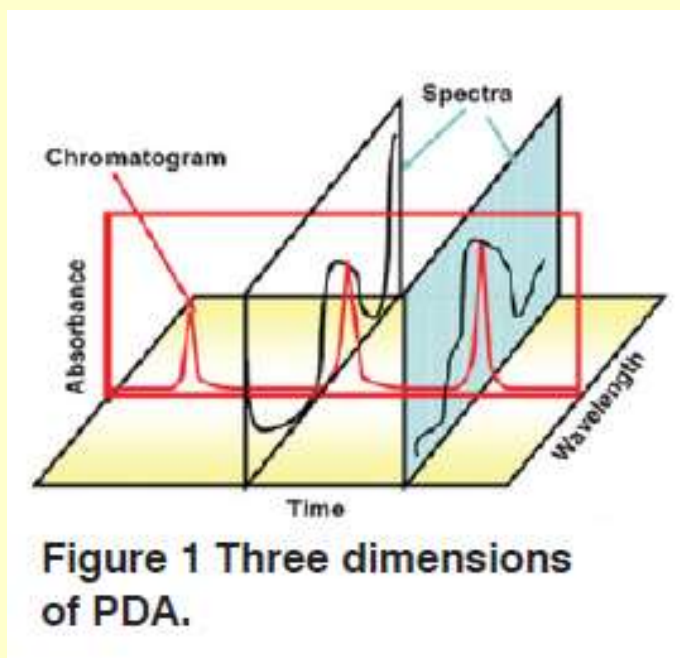
Citlivější metoda než UV/VIS spektrofotometrie, měří se signál po excitaci látky zářením (kolmo na původní paprsek)

# Fluorescenční spektroskopie



Citlivější metoda než UV/VIS spektrofotometrie, měří se signál po excitaci látky (kolmo na původní paprsek)

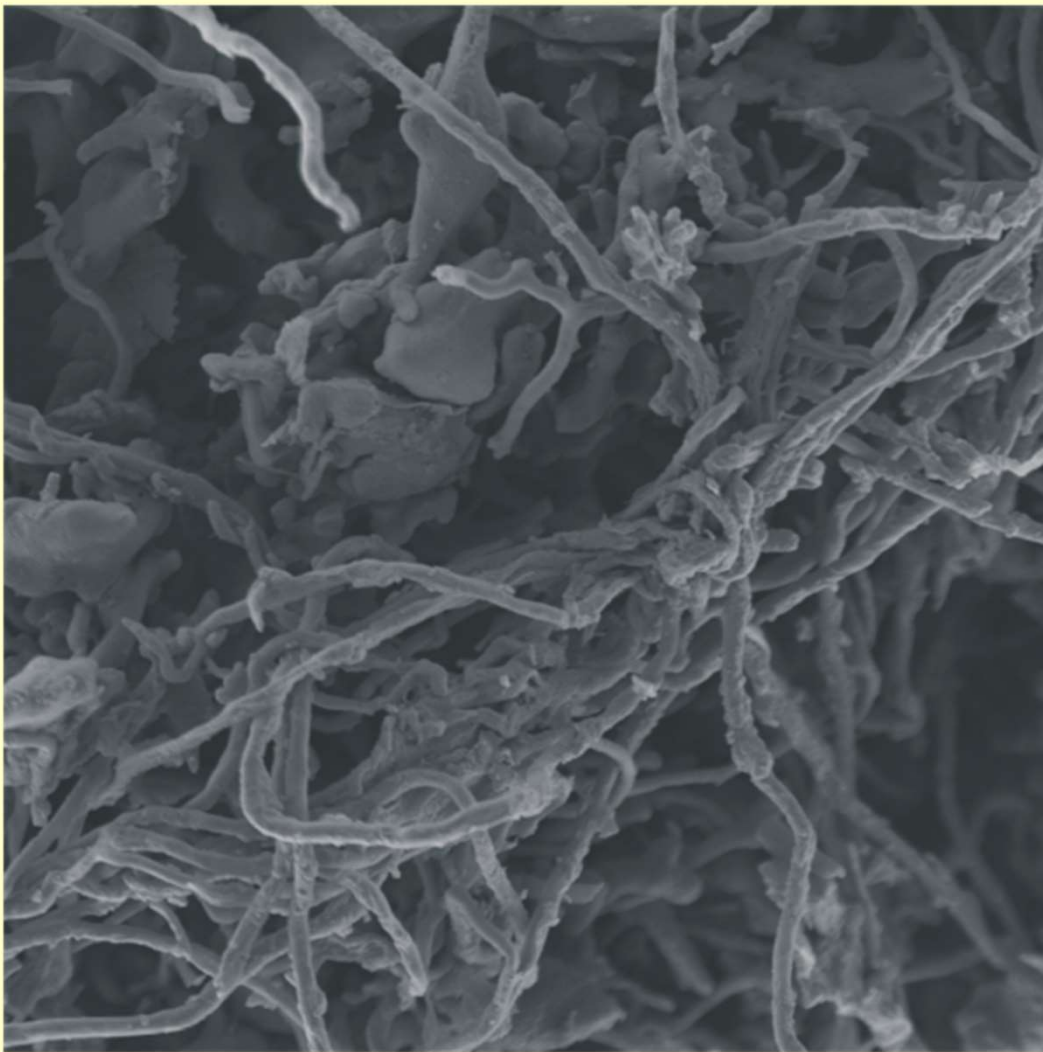
# DAD a FLD jsou nejdůležitější detektory v HPLC



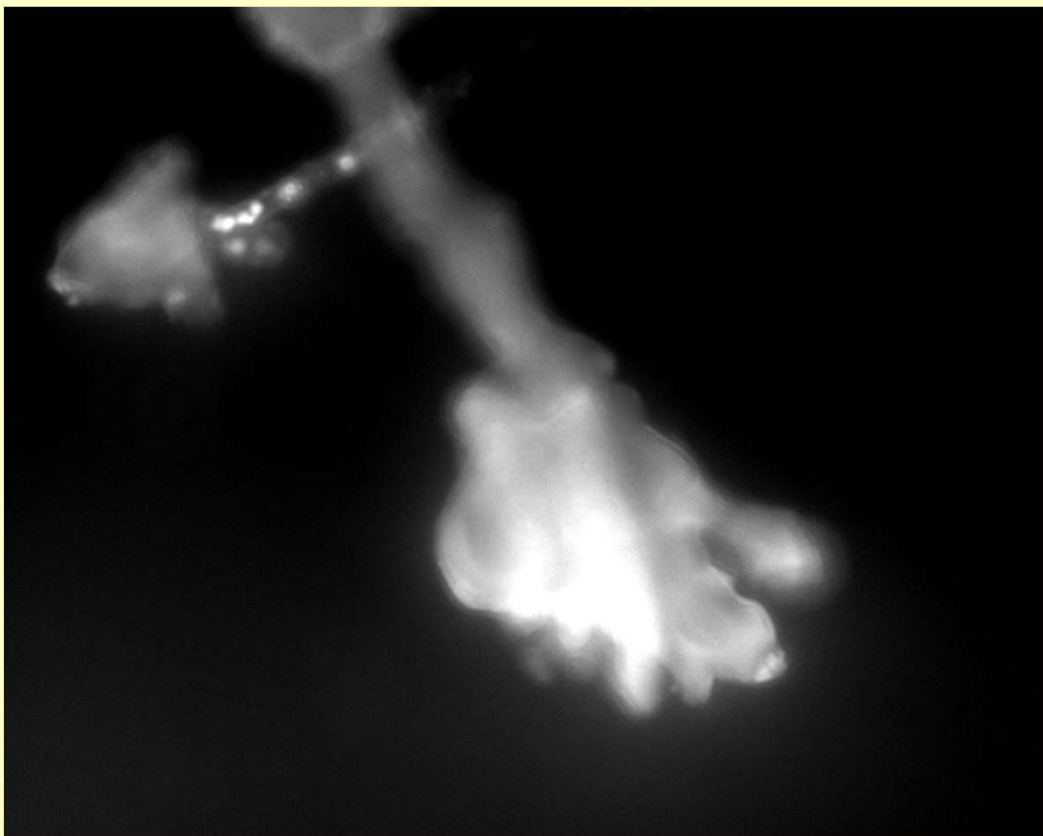
Diode array detector – detektor diodového pole

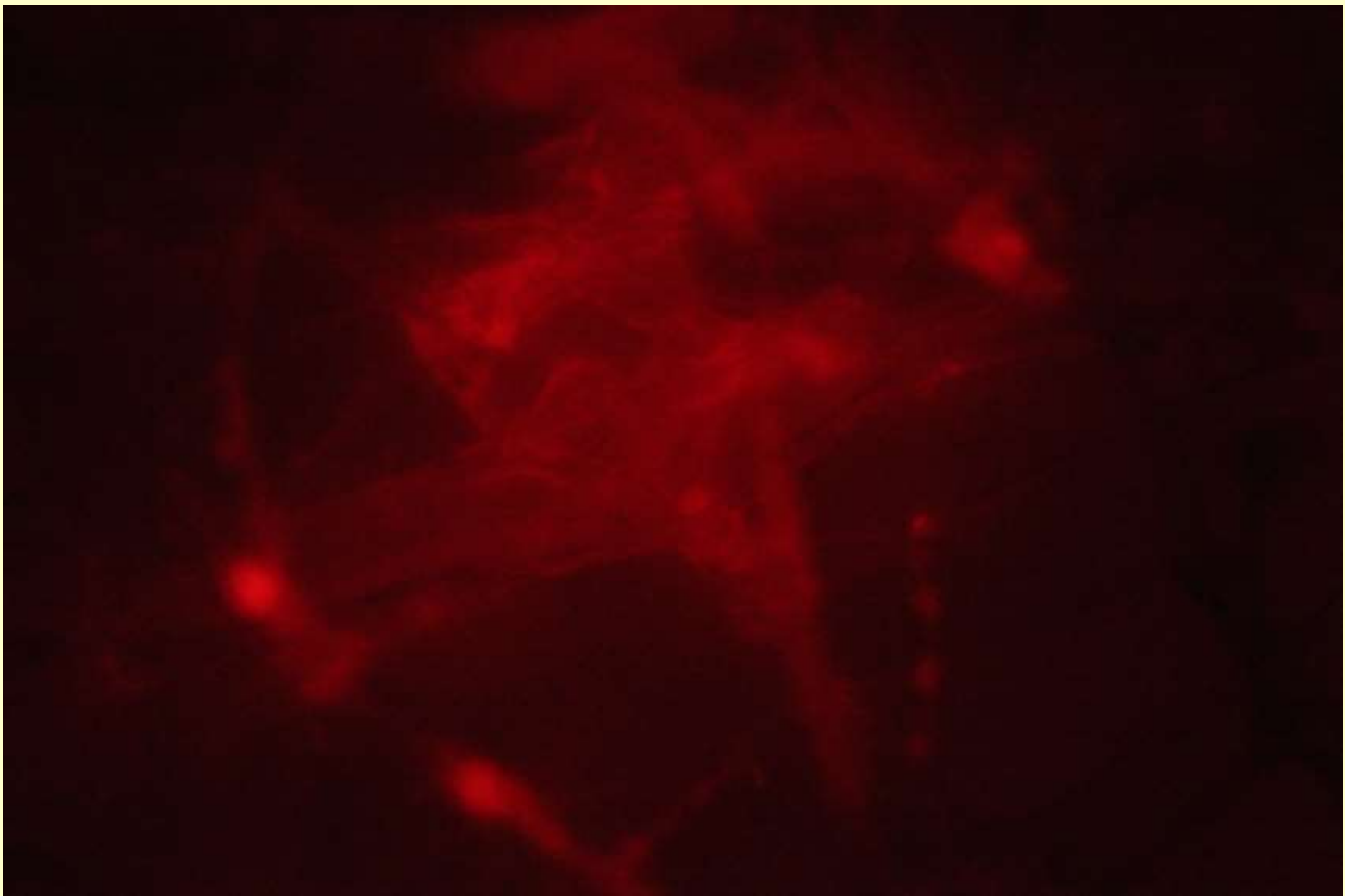
7 – pole fotodiód pro každou vlnovou délku;  
rozlišení bývá 1 nm.

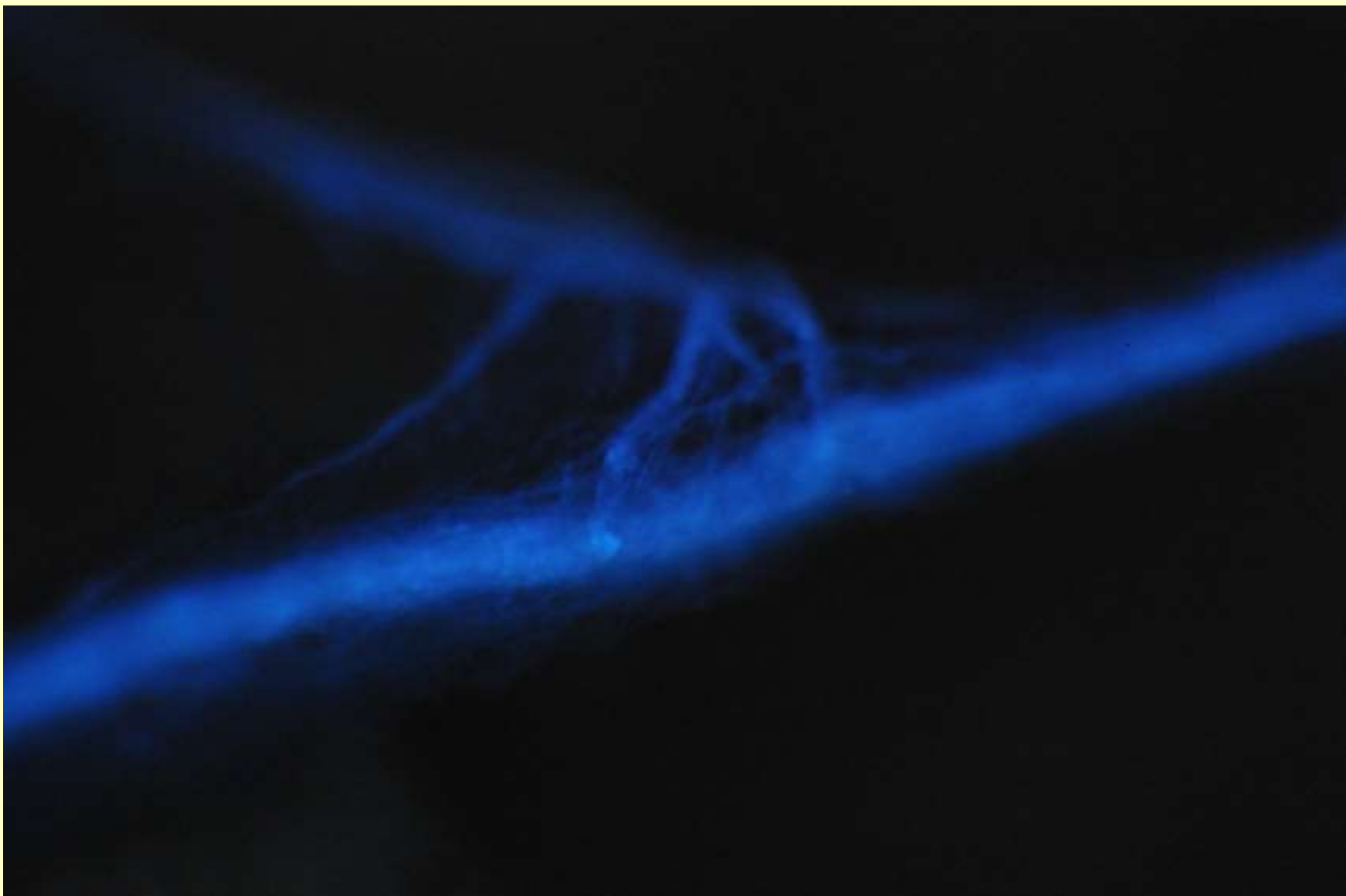
FLD – fluorescenční detektor, stejné vlastnosti.











# Instrumentální metody – Atomová absorpční spektrometrie

Volné atomy v plynném stavu jsou schopny absorbovat záření těch vlnových délek, které samy vyzařují.

Je-li atom vystaven tomuto záření, přechází do excitovaného stavu a dochází k absorpci záření.

## Aplikační možnosti AAS

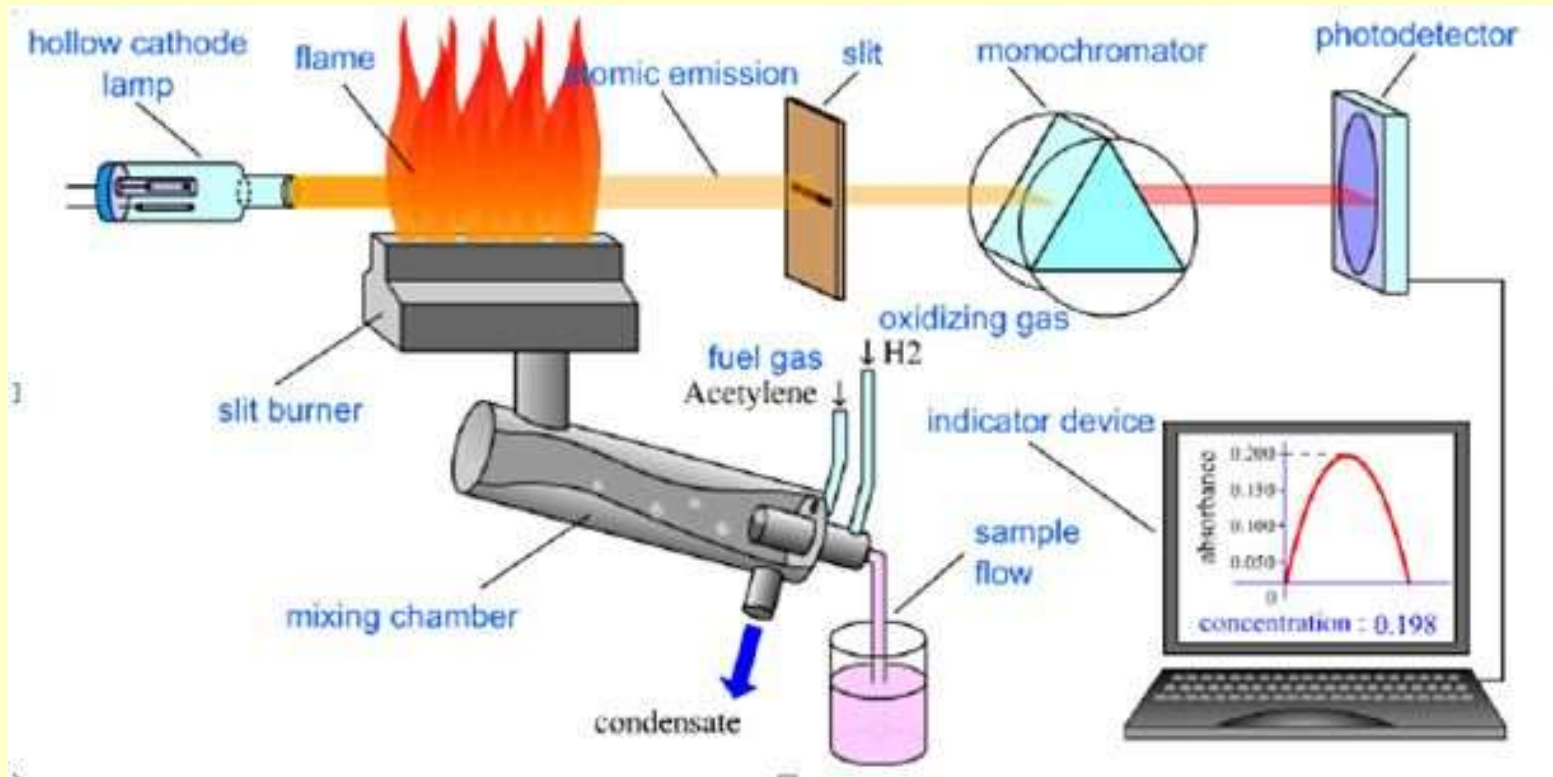
stanovení téměř všech kovů, metaloidů a několika nekovů (B, Si, P)

**plamen acetylen - vzduch** ( $t$  2000-2300 °C): pro snadno atomizovatelné prvky (alkalické kovy, Mg, Ca, Zn, Cu, Cd, Pb, Mn, Fe, případně Cr)

**plamen acetylen - oxid dusný** ( $t$  2800-3000 °C): pro obtížně atomizovatelné prvky (Sr, Ba, V, Cr, Mo, Al, Si, B atd.); nebo prvky, které tvoří s matričními složkami (fosforečnany, křemičitany) termostabilní sloučeniny (Ca, Mg, Ni, Fe)

# Princip AAS: snížení intenzity záření „charakteristické“ vlnové délky excitovanými atomy prvku

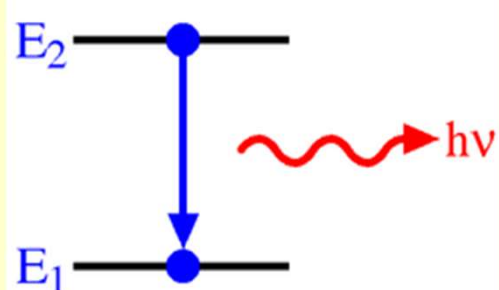
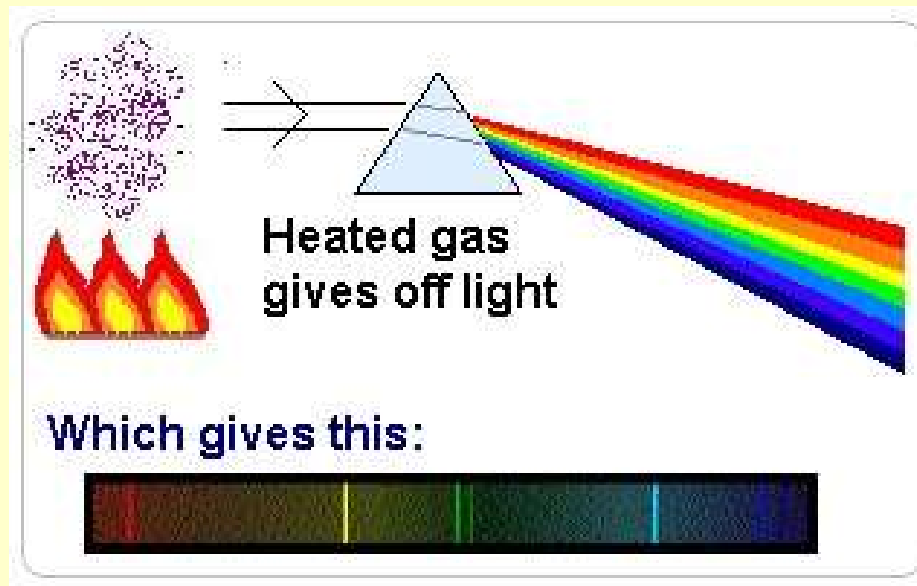
(kvantita: opět Lambert-Beerův zákon)



# Instrumentální metody – Atomová absorpční spektrometrie



# Instrumentální metody – Atomová emisní spektrometrie



Emisní spektrum: čárové, typické použití v biologii: Na, K, Ca... obecně pro prvky s typickým zářením při de-excitaci

# Instrumentální metody – ICP-MS

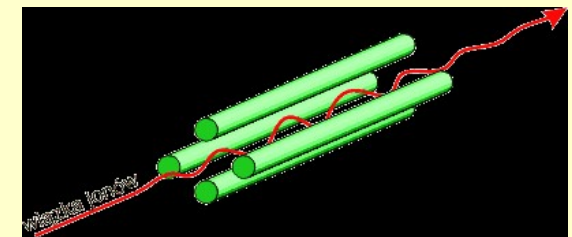
*(hmotnostní spektrometrie s indukčně vázaným plazmatem)*

Roztok analytického vzorku je zmlžen a vzniklá mlha je proudem argonu vedena do hořáku, ve kterém je za pomoci střídavého vysokofrekvenčního magnetického pole udržováno argonové plazma o teplotě 6 000 – 10 000 K.

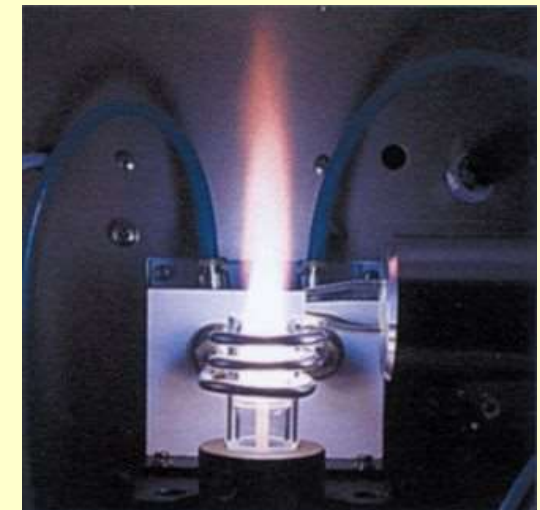
Za takových podmínek se rozpouštědlo okamžitě odpaří a zanikají chemické vazby v molekulách přítomných sloučenin. Jednotlivé volné atomy ve většině případů vytvoří jednou kladně nabité ionty  $\text{Me}^+$ , které jsou dále unášeny do přechodové komory, kde je snížen tlak plynu na přibližně 0,01 Torru.

Po průchodu do vstupu k detektoru klesá tlak na řádově  $10^{-5}$  Torru a ionty se systémem elektromagnetických čoček dostávají do kvadrupólového detektoru. Zde jsou analyzované ionty vedeny takovým způsobem, aby na povrch zesilovače dopadly v daném časovém okamžiku pouze ionty se zvolenou hmotností.

# Instrumentální metody – ICP-MS



*Kvadrupólový separátor*



*Argonový hořák*

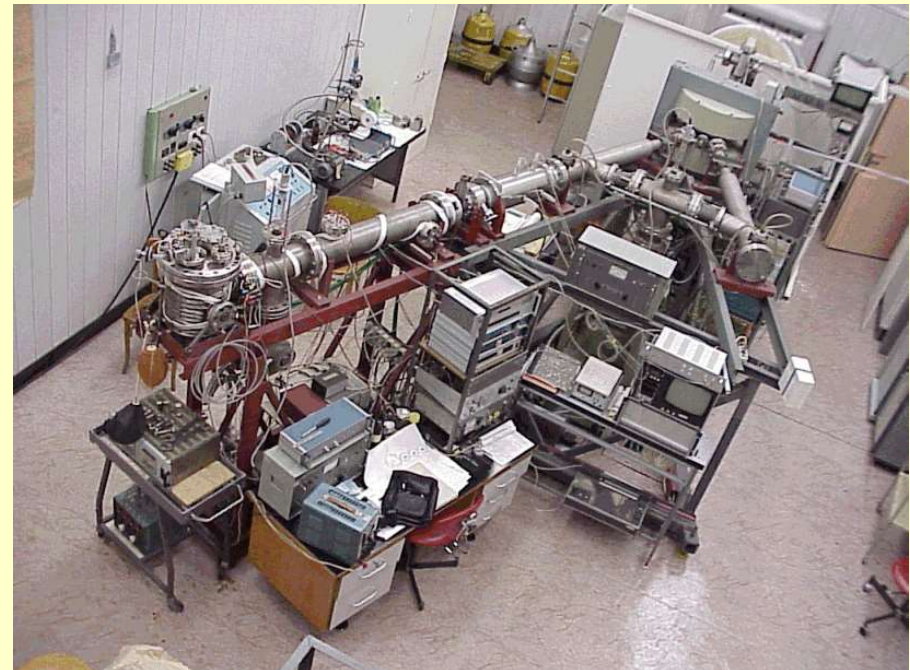
## Instrumentální metody – PIXE

Metoda PIXE je prakticky nedestruktivní citlivá metoda studia prvkového složení látek.

Měření probíhá nejčastěji ve vakuové komoře. Vzorek je bombardován svazkem urychlených iontů, nejčastěji protonů.

Princip metody spočívá v tom, že při průletu iontu vzorkem je z některé vnitřní energetické hladiny (K nebo L) některého atomu vyražen elektron a na jeho místo "přeskakuje" jiný elektron z hladiny vyšší. Při tomto "přeskoku" je s určitou pravděpodobností vyzářen foton o energii rovné rozdílu energií hladin, mezi kterými došlo k přeskoku. Jelikož každý prvek má svoje vlastní charakteristické uspořádání energetických hladin, dá se z naměřených energií takto vzniklých fotonů zjistit z jakého prvku fotony pocházejí.

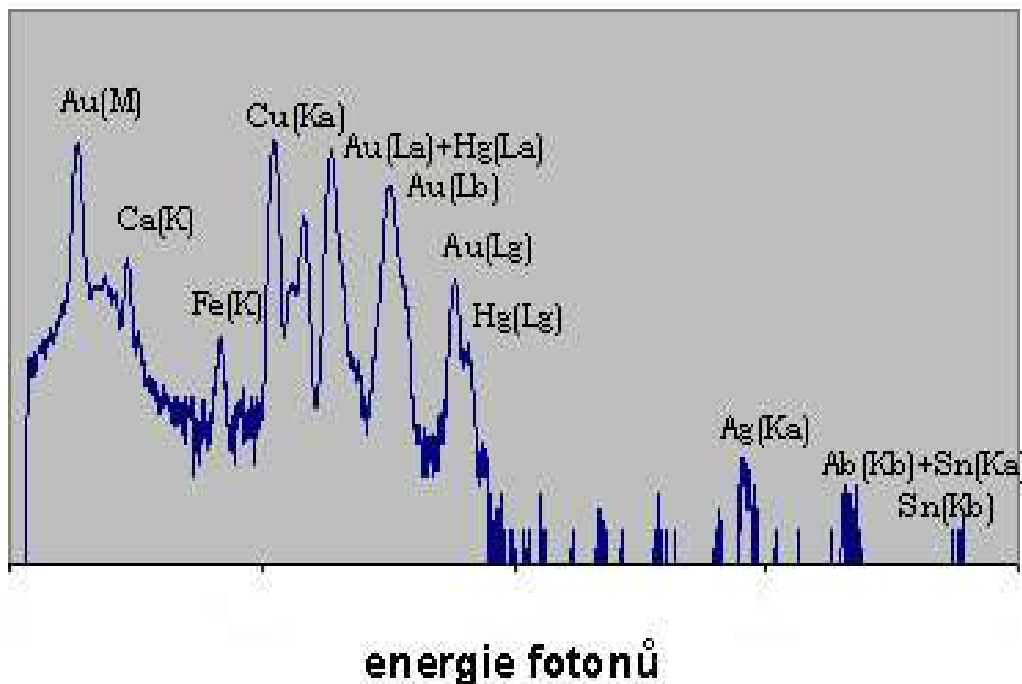
# Instrumentální metody – PIXE



*měřicí aparatura*

*urychlovač iontů  
(ČVUT Praha)*

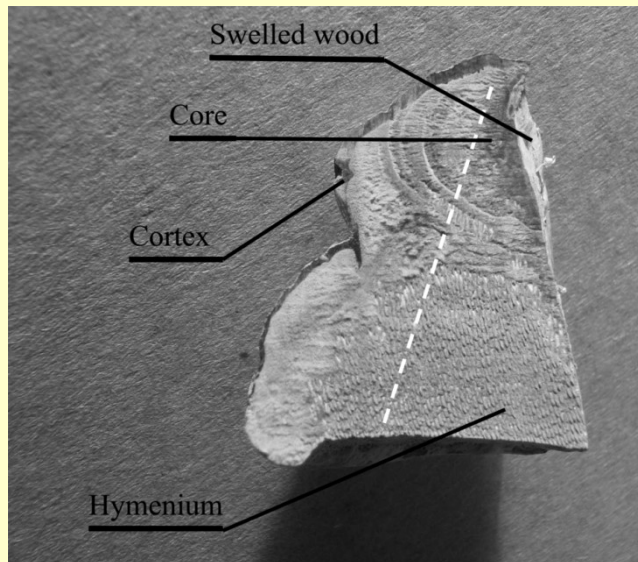
## Instrumentální metody – PIXE



*měřící komora*

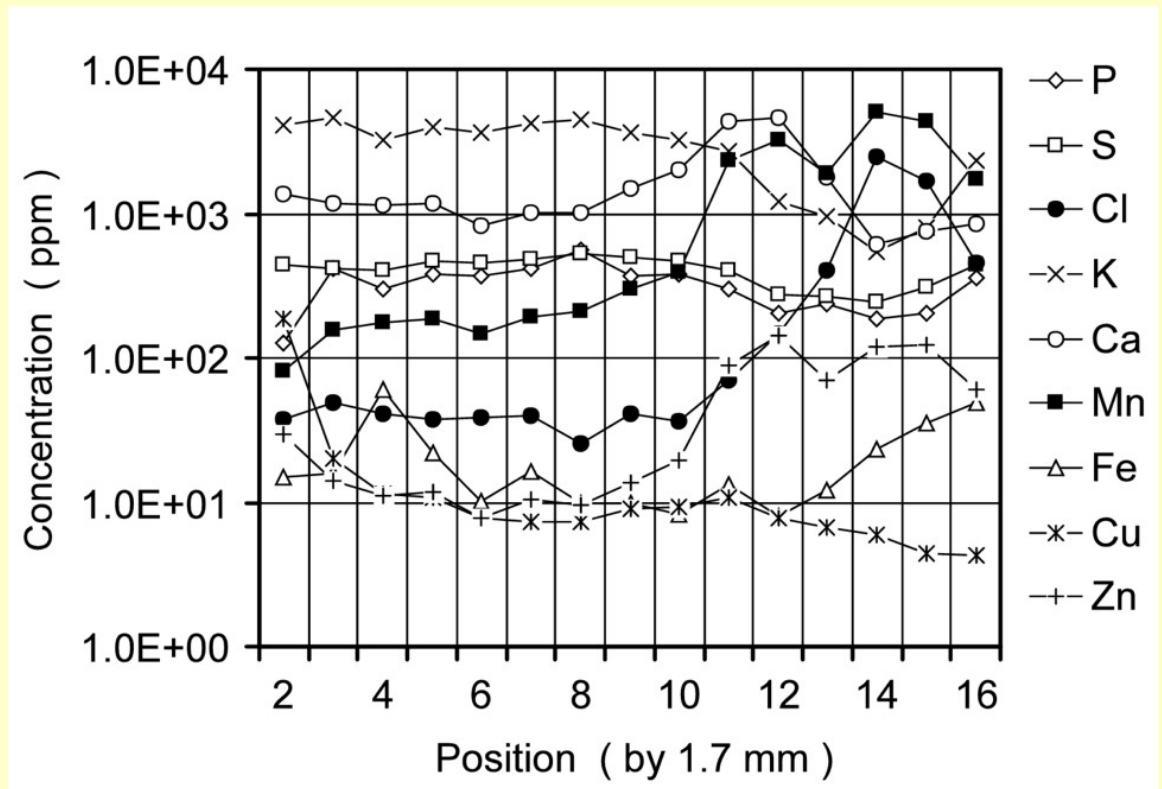
*příklad spektra*

# Instrumentální metody – PIXE



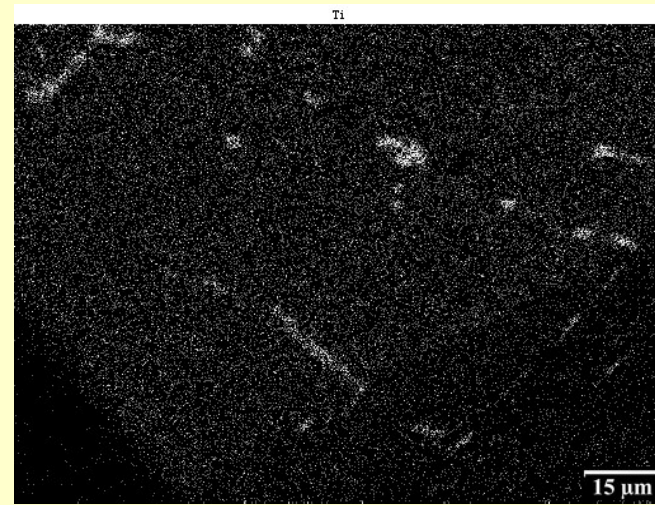
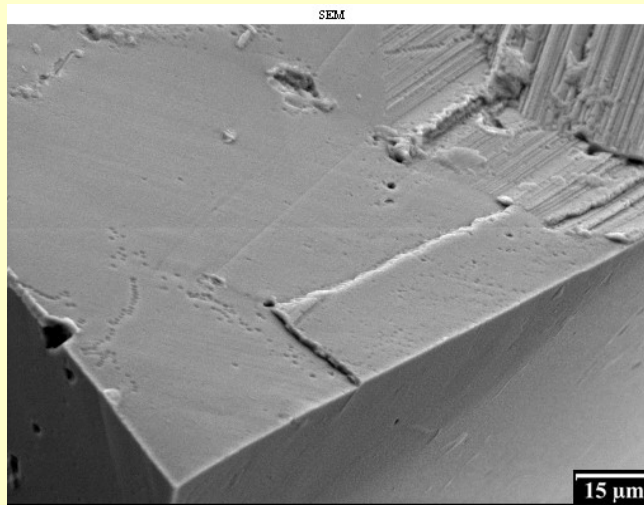
*řez plodnicí choroše*

*prvkové složení*



# Instrumentální metody – mikroanalýza EDX

*Jde o spojení elektronové mikroskopie a „energie disperzního analyzátoru“*



Lopatka leteckého motoru, rozdělení titanu

<http://fyzport.fjfi.cvut.cz/Akce/FT/03/sbpdf/matvyzk.pdf>

Tento materiál je určen pouze pro výuku studentů.

This presentation has been scheduled for educational purposes only.

Pokud má někdo dojem, že použité obrázky (jiné než moje vlastní) jsou kryty copyrightem, nechť mi dá vědět.

If somebody believes, that pictures or figures in this presentation are covered by copyright, please let me know.

Jiří Gabriel ([gabriel@biomed.cas.cz](mailto:gabriel@biomed.cas.cz))